

ЗАО «Руднев – Шиляев»

**Двухканальный анализатор вибрационных и акустических
сигналов реального времени «СА-03»**

Техническое описание и инструкция по эксплуатации

СОДЕРЖАНИЕ

	Стр.
1. Назначение и технические характеристики анализатора.....	3.
2. Элементы управления анализатора.....	7.
2.1. Поле оконных весовых функций.....	9.
2.2. Поле установок измерений.....	9.
2.3. Поле выбора режима измерений.....	12.
2.4. Поле управления экранами.....	14.
2.5. Стартовый модуль	16.
2.6. Поля управления режимом изображения и передачи данных.....	19.
2.6.1. Режим сравнения данных.....	23.
3. Режимы измерений	25.
3.1. Калибровка измерительных каналов	25.
3.2. Измерения.....	27.
3.2.1. Метод Спектрального накопления.....	27.
3.2.2. Метод Синхронного накопления.....	30.
3.2.3. Статистические Распределения.....	31.
3.3. Режим обработки данных из файлов	33.
4. Используемые символы и определения функций.....	34.
4.1. Принятые обозначения символов.....	34.
4.2. Операторы.....	34.
4.3. Определения функций.....	35.
5. Требования безопасности.....	41.
6. Условия применения прибора.....	42.
7. Состав прибора.....	43.
Литература.....	43.
Гарантийные обязательства	44.

1. Назначение и технические характеристики анализатора

Двухканальный анализатор сигналов - «СА-03» является многофункциональным прибором, ориентированным на решение измерительных задач акустического и вибрационного диапазонов частот.

Анализатор представляет собой виртуальный измерительный прибор, построенный на базе персонального компьютера. Принцип построения модульный, где системные и программные модули настроены на решение конкретных задач. Управление решением этих задач и диалог с пользователем поддерживает программная оболочка – интерфейс пользователя.

Анализатор обеспечивает измерение и цифровую обработку измеряемых сигналов одновременно по двум каналам. Эти измерения могут быть проведены в соответствии с выбранными методом проведения измерений: **«Спектральное накопление»**, **«Синхронное накопление»**, **«Распределения»**.

Каждому из перечисленных методов измерений соответствует набор измеряемых функций. Так, **«Спектральное накопление»** обеспечивает измерение *авто и взаимных корреляционных функций и спектров, функции частотной когерентности, когерентной и некогерентной мощности, комплексных передаточных функций, отношение сигнал/шум, временное развитие сигнала и отношение сигналов двух измерительных каналов, проведение кепстрального анализа.*

«Синхронное накопление» - дает возможность определить *авто и взаимные корреляционные функции, автоспектры, когерентную и некогерентную мощность, отношение сигнал/шум, временное развитие сигнала и отношение сигналов двух измерительных каналов, провести кепстральный анализ* для реализаций исследуемых сигналов, *сглаженных во временной области.*

Характер проведения измерений - **«Распределения»** - предполагает построение *функции плотности распределения и функции распределения вероятностей* измеряемых сигналов.

Указанные характеристики могут быть получены как при непосредственном измерении сигналов и обработке в реальном масштабе времени, так и при обработке файлов данных.

Анализатор снабжен многофункциональным стартовым модулем, обеспечивающим различные режимы запуска измерений. Так, возможен *свободный запуск, запуск по внешнему ТТЛ уровню, запуски по условиям: по уровню сигнала одного из каналов, запуск при превышении заданного уровня сигнала, если сигнал ниже уровня,*

если сигнал находится внутри заданного региона, а также отрабатываются верхний и нижний гистерезисы.

Предусмотрена возможность интегрирование и дифференцирование измеряемых сигналов во временной области, а также интегрирование в частотной, что обеспечивает измерение интегральных и дифференциальных характеристик сигнала без смены первичного преобразователя. Например, характеристик скорости и перемещения заданной точки колебаний объекта при использовании в качестве первичного приемника акселерометра.

Наличие межканального временного смещения дает возможность исключить запаздывание между каналами, что обеспечивает корректное измерение передаточных и взаимных корреляционных функций для исследуемых объектов, имеющих значительные задержки преобразования сигналов, превышающих время корреляции сигналов между входом и выходом.

Для изображения измеренных характеристик сигналов можно воспользоваться одним или одновременно двумя экранами. Масштабы по осям абсцисс выбираются в зависимости от изображаемой функции и могут быть линейными в частотной и временной областях, а также октавными и одна треть октавы - в частотной. Масштаб по оси ординат также выбирается в зависимости от изображаемой функции. Выбор масштабов по осям и экранам независимый.

Каждый экран анализатора снабжен указателями - курсорами, для поиска и слежения за изображаемой информацией, указателем гармоник. Имеется возможность синхронного перемещения курсоров, а также многократного увеличения изображенных функций.

При выходе из программы происходит автоматическое сохранение последних установок на режимы обработки и изображения. Эти режимы будут восстановлены при следующем включении виртуального прибора.

Результаты измерений могут быть записаны на жесткий диск для хранения и вторичной обработки средствами приложений Windows, например, Microsoft Excel, или через стандартный буфер обмена переданы другим приложениям.

Для соединения с первичными приемниками вибрационных и акустических сигналов «СА-03» имеет специальную коммутационную панель с расположенными на ней SMB разъемами “CH0”, “CH1”, ..., “CH7”, разъем для запуска измерений по внешнему ТТЛ уровню - “EXT TRIG” – рис.1.1.

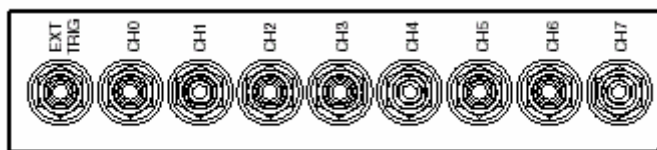


Рис.1.1. Коммутационная панель CA-03.

Возможность подключения первичных вибрационных и акустических приемников, имеющих собственные усилители, а также приемников с ICP питанием, проведения калибровки измерительных трактов с учетом коэффициентов усиления внешней аппаратуры, адаптации системы к уровням измеряемых сигналов в режимах автоматического и ручного управления, наличие многофункционального стартового модуля и другие дополнительные возможности обеспечивают удобства в проведении вибрационных и акустических исследований.

На рис. 1.2. показана иконка для запуска двухканального анализатора сигналов.



Рис. 1.2. Вид иконки для запуска двухканального анализатора сигналов.

Характеристики анализатора.

Количество измерительных каналов	- 2 из 8 синхронных каналов;
Тип АЦП	- Delta-Sigma;
Разрешение АЦП	- 24 бита;
Входное сопротивление	- не менее 1 МОм/60Пф
Амплитуда входного сигнала, макс:	- 10, В;
Вход – программное переключение	- AC/DC,
АС – 3дБ при частоте среза 3.4 Гц;	
Полосы пропускания, Гц:	40000, 25600, 20000, 12800, 10000, 6400, 5000, 3200, 2500, 1600, 800, 400, 200, 100, 50 .
Динамический диапазон	- > 110 дБ;
Пульсация в полосе пропускания	- 0.5 дБ;
Нелинейность фазовой характеристики	- 0.5°;
Перекрестный шум	- < -100 дБ;
Межканальные искажения:	
Модуль	- 0,1 дБ;
Фаза	- <0.5°;
Аналоговый триггер:	
источник	- каналы 0 – 7;
уровень	- программируемый +10, -10, В;
склон	- положительный, отрицательный;
Цифровой триггер	- ТТЛ совместимый
длительность	≥ 10нс;
ICP питание на каждый канал	-24 В, 4 мА;
программное управление включением/отключением ICP питания;	

Характеристики анализа.

Разрешение: 8192, 4096, 2048, 1024 дискретных значений во временной области; 3201, 1601, 801, 401 полоса в частотной, а также октавное и треть октавное представление в частотной области, при стандартном количестве полос, выбираемом автоматически в соответствии с полосой пропускания. Нижняя среднегеометрическая частота полосы при октавном и треть октавном представлении 16 Гц.

В режиме статистического анализа число разрядов гистограммы может выбираться пользователем из ряда возможных значений: 256, 512, 1024, 2048.

Весовые функции: Прямоугольная, Ханнинг, Хамминг, Блэкман-Харрис, Уточненный Блэкман, Блэкман, Плоская вершина, 4-ое выражение Блэкман-Харрис, 7-ое выражение Блэкман-Харрис, Экспоненциальная.

2. Элементы управления анализатора.

При загрузке программного продукта “СА_03” на экране монитора появляется изображение основной панели управления виртуального прибора рис.2.1, где расположены *управляющие элементы: кнопки управления, индикаторы, поля ввода данных*, а также экраны для наблюдения за процессом измерений и изображения результатов.

Кнопки управления - кнопки, активация которых приводит к выполнению определенных операций или действий измерительной системы. Так, кнопка «Выход», обеспечивает выход из программы. (Здесь и далее «нажать» – «активировать» элемент управления означает выполнить следующие операции - подвести курсор мыши в поле элемента и щелкнуть левой клавишей мыши).

Индикатор - элемент управления, характеризующий определенное состояние измерительной системы, например текущее количество накоплений.

Поле ввода данных - поле, в которое пользователь может внести числовую или текстовую информацию с клавиатуры.

Управляющие элементы объединены в поля по принадлежности к типу задачи управления процессом измерения. Таких полей несколько - рис.2.1.

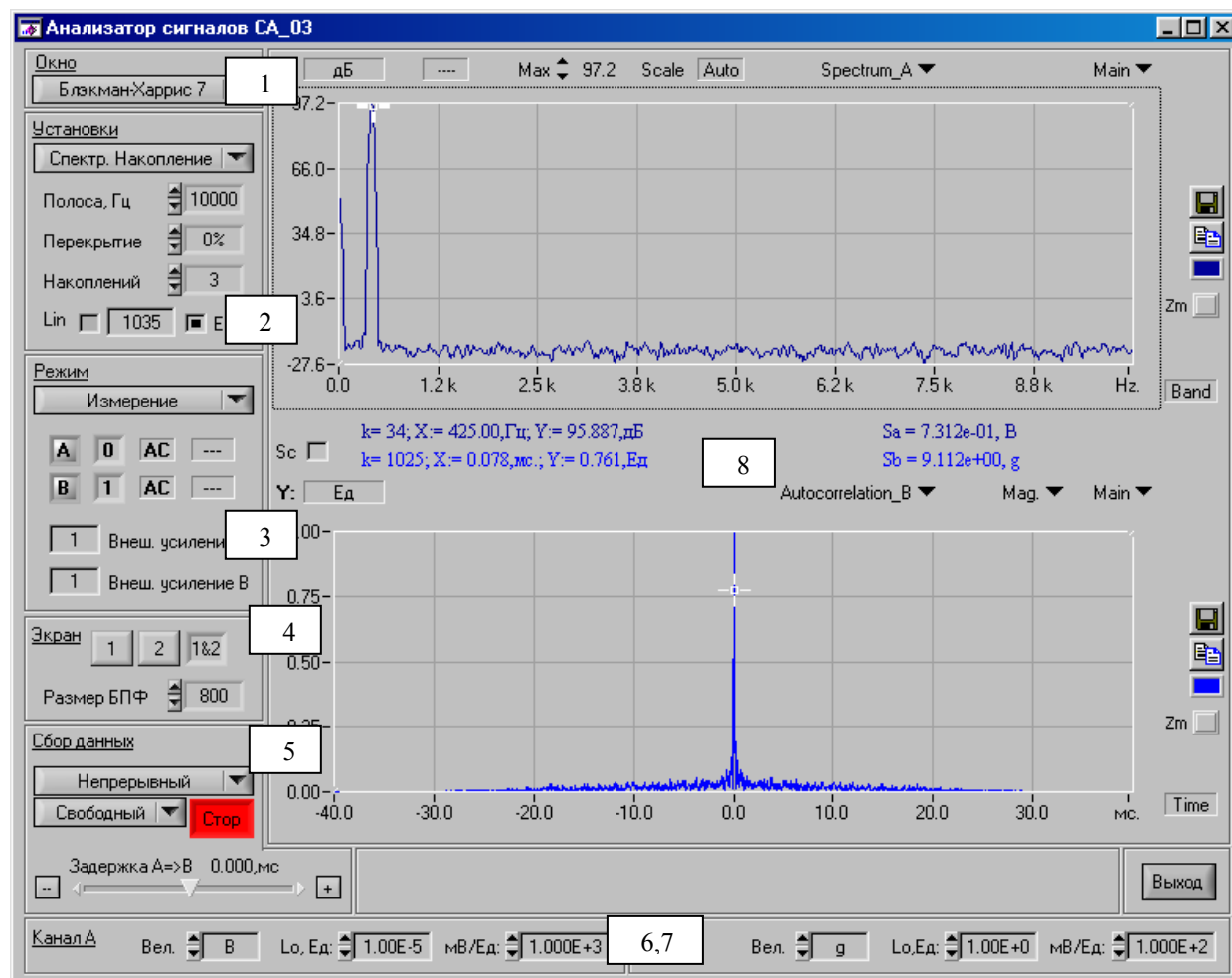


Рис. 2.1. Поля управления двухканального анализатора сигналов:

- 1 - поле выбора оконных весовых функций;
- 2 - поле установок измерений;
- 3 - поле выбора режима измерений;
- 4 - поле управления экранами;
- 5 - поле стартового модуля;
- 6,7 - поля калибровки каналов А и В;
- 8 - поля изображения данных измерений.

2.1. Поле оконных весовых функций

На рис. 2.2. показаны весовые оконные функции доступные пользователю при проведении измерений.

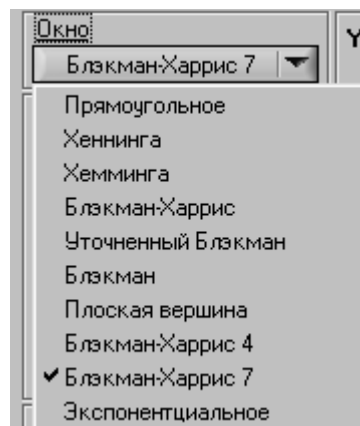


Рис.2.2. Набор весовых оконных функций.

Прямоугольное и экспоненциальное весовые окна, как правило, используются при анализе импульсных переходных характеристик. При статистическом анализе используют прямоугольное весовое окно. Это окно не вносит искажений во временную реализацию сигнала.

Окна Хеннинга, Хемминга, Блэкмана-Харриса, Уточненный Блекман, Блекмана, Плоская вершина, Блэкмана-Харриса четвертого и седьмого порядков используют при спектральном анализе на основе быстрого преобразования Фурье (БПФ) для подавления резких вариаций на начальном и конечном участках исходных временных реализаций [1].

2.2. Поле установок измерений.

Характер решаемой измерительной задачи определяет и метод измерений. Так, для получения состоятельных оценок эргодических стационарных процессов широко используется **Спектральное накопление**. Импульсное нагружение объекта при спектральных измерениях отклика дает возможность оценить его собственные частотные характеристики.

Нагрузки, обусловленные наличием дисбалансов вращающихся частей преобразователей энергии, могут быть корректно определены в условиях значительных посторонних помех методом **Синхронного накопления** во времени. В качестве стартового синхроимпульса, в этом случае, достаточно использовать импульсы датчика оборотов, связанного с валом - источником нагрузок.

Распределение мгновенных значений нагрузок может быть получено по результатам статистического анализа исследуемого сигнала. Для этого полезно иметь гистограммы распределения мгновенных значений - использовать метод измерения **Распределения**.

Выбор одного из указанных методов измерений обеспечивает управляющий элемент поля Установки, показанный на рис 2.3.

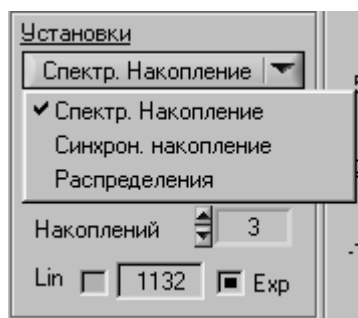


Рис.2.3. Элемент управления выбором метода измерений: Спектральное накопление; Синхронное накопление; Распределения.

Выбор одного из указанных методов измерений определяет и возможность выбора сопутствующих управляющих параметров поля, которые связаны с основным динамически.

На рис. 2.4 показаны управляющие элементы для выбора параметров, сопутствующих методу **Спектральное накопление**.



Рис.2.4. Элементы управления поля Установки, обеспечивающие выбор:
 1 – полосы анализа, Гц;
 2 – процент перекрытия данных;
 3 – числа накоплений может быть выбрано в пределах 1 – 131072;
 4 – типа накопления Lin - линейное; Exp – экспоненциальное;
 5 - индикатор текущего числа накоплений.

Следует уточнить, что процент перекрытия данных – процент от размера БПФ,

заданного в поле Экран.

Управляющие элементы для выбора параметров, сопутствующих методу **Синхронное накопление** показаны на рис.2.5.



Рис.2.5. Элементы управления поля Установки, обеспечивающие выбор:
 1 – полосы анализа, Гц;
 2 – числа накоплений может быть выбрано в пределах 1 – 131072;
 3,5 – тип накопления Lin - линейный; Exp – экспоненциальный;
 4 - индикатор текущего числа накоплений.

Следует отметить, что в методе **Синхронное накопление** сглаживание данных происходит во временной области, т.е. накапливаются мгновенные значения по ансамблю реализаций, измерение каждой из которых происходит по внешнему синхроимпульсу. В методе **Спектральное накопление** сглаживание данных происходит по ансамблю, но в частотной области.

На рис. 2.6 показаны управляющие элементы для выбора параметров, сопутствующих методу **Распределения**. Накопление в этом методе измерений выполняется по линейному закону для числа попаданий в фиксированные интервалы разрядов гистограмм.

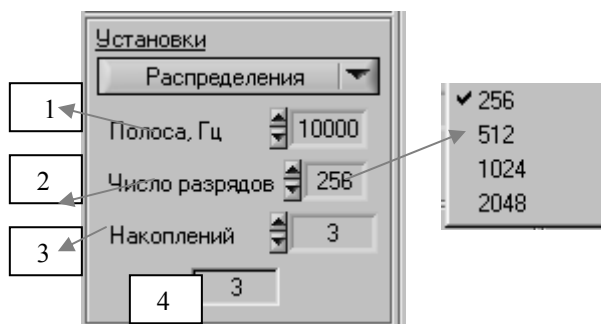


Рис.2.5. Элементы управления поля Установки, обеспечивающие выбор:
 1 – полосы анализа, Гц;
 2 – числа разрядов гистограмм;
 3 - числа накоплений;
 4 - индикатор текущего числа накоплений.

2.4. Поле выбора режима измерений

Элементы этого поля – рис. 2.6, обеспечивают выбор источника данных: *Измерение* или *Файл источник* –(1), номера каналов, подключаемых ко входам «А», «В» анализатора –(4).

Индикаторные лампочки «А», «В» –(2) сигнализируют о перегрузке каналов в процессе проведения измерений.

Интегрирование или дифференцирование сигналов первичных преобразователей обеспечивают элементы управления – (6).

Элементы управления «*Внешнее усиление А*», «*Внешнее усиление В*» – (3), дают возможность занести в память и учесть коэффициенты усиления внешней аппаратуры, если такая аппаратура используется в процессе проведения измерений, включить ICP питание для соответствующих первичных преобразователей, а также обеспечивают управление усилителями РШ2738Э. Подключение - (AC) и отключение - (DC) аналоговых фильтров верхних частот (ФВЧ) отдельно, для каждого канала, обеспечивают управляющие элементы (5).

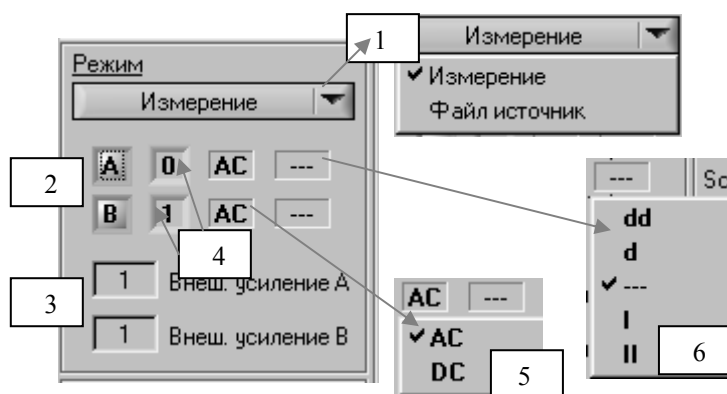


Рис.2.6. Элементы управления режимом измерений:

- 1 – выбор источника данных для анализа;
- 2 – индикаторы перегрузки по каналам А и В;
- 3 – элементы управления внешними усилителями РШ2738Э, источниками питания для первичных преобразователей с ICP питанием;
- 4 – переключатели измерительных каналов;
- 5 – управление подключением/отключением аналоговых ФВЧ;
- 6 – тип преобразования временной реализации: dd – двойное дифференцирование; d - дифференцирование; --- без преобразования; I - интегрирование; II – двойное интегрирование.

Для смены номеров каналов подключенных ко входам анализатора «А» или «В» достаточно активировать левой клавишей мыши элемент управления (4) соответствующего канала и манипулируя стрелками «вверх» или «вниз» клавиатуры выбрать требуемый номер канала. При этом следует обратить внимание на состояние канала. Если номер канала «утоплен» по отношению к панели - канал подключен, если выступает над панелью – отключен.

Для учета коэффициента усиления внешней аппаратуры достаточно внести в поле (3), соответствующего канала, значение этого коэффициента. Например, 2.5 по каналу «А» и 1 по каналу «В» – рис.2.7.

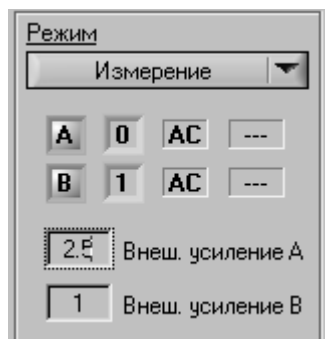


Рис.2.7. Занесение в оперативную память коэффициентов усиления внешней аппаратуры измерительных каналов «А» и «В».

Для включения ICP питания измерительного канала достаточно в поле управления *Внешнее усиление*, соответствующего канала, набрать с клавиатуры аббревиатуру "ICP". При этом подключится ФВЧ, о чем напомним поле AC/DC. Наличие ICP питания канала блокирует возможность отключения ФВЧ канала.

При внесении в поле *Внешнее усиление* канала любого числа или аббревиатуры «РШ», что соответствует вызову панели управления усилителем заряда РШ2738Э, ICP питание будет отключено.

На рис.2.8 ICP питание подано по входу анализатора «А» на канал с номером «0», а по входу анализатора «В» для канала с номером «1» вызвана панель управления усилителем заряда РШ2738Э.

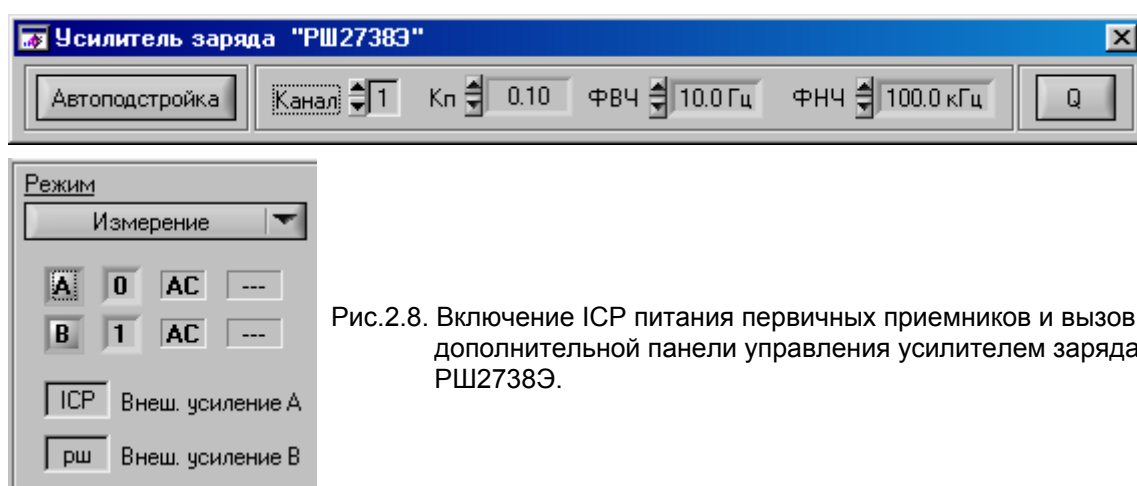


Рис.2.8. Включение ICP питания первичных приемников и вызов дополнительной панели управления усилителем заряда РШ2738Э.

На панели управления усилителем заряда расположены элементы, обеспечивающие возможность выбора фильтров верхних (ФВЧ) и нижних (ФНЧ) частот, коэффициента передачи (Кп) по заданному каналу, в частности по каналу с номером «1».

Кроме того, панель управления РШ2738Э имеет кнопку «Автоподстройка», активация которой обеспечит адаптацию измерительных каналов системы к уровням измеряемых сигналов, при этом цвет кнопки изменится. По окончании процесса адаптации цвет кнопки восстановится, а система перейдет в режим измерений.

2.4. Поле управления экранами

В этом поле расположены управляющие элементы, обеспечивающие смену формата экранов. Активация элемента «1&2» вызовет изображение двух функций выбранных пользователем на верхнем и нижнем экранах – рис 2.9.

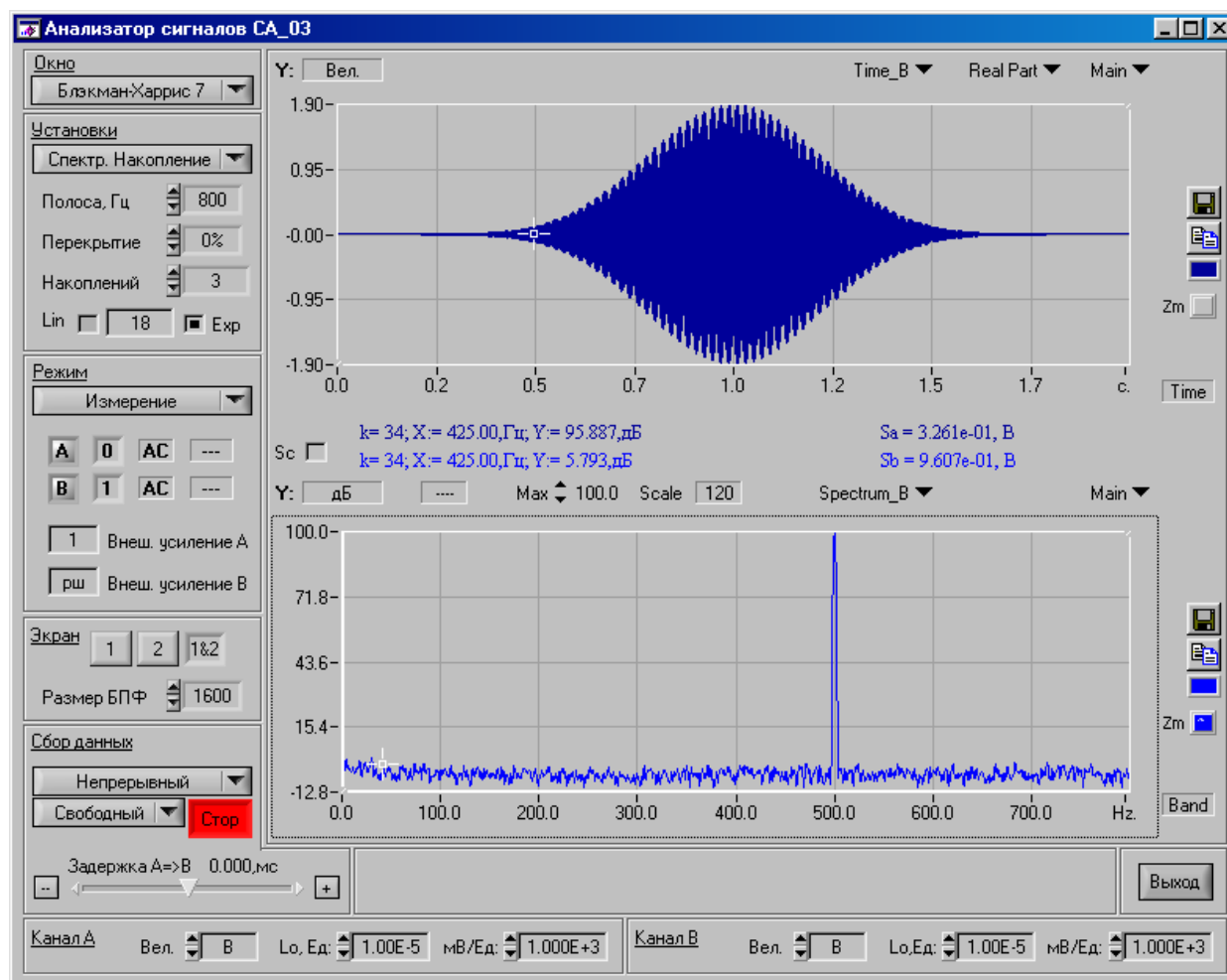


Рис.2.9. Элементы управления поля Экран. Выбор двух экранов для изображения результатов измерений.

Активация элемента «2» или «1» этого поля приведет к изображению одной из функций показанных на рис 2.9. Так, при нажатой кнопке 2 будет видна в увеличенном масштабе только характеристика автоспектра канала «В» - рис.2.10, а при нажатой первой кнопке только реальная часть временной функции канала «В» - Time_B, Real Part, показанная на верхнем экране рис.2.9.

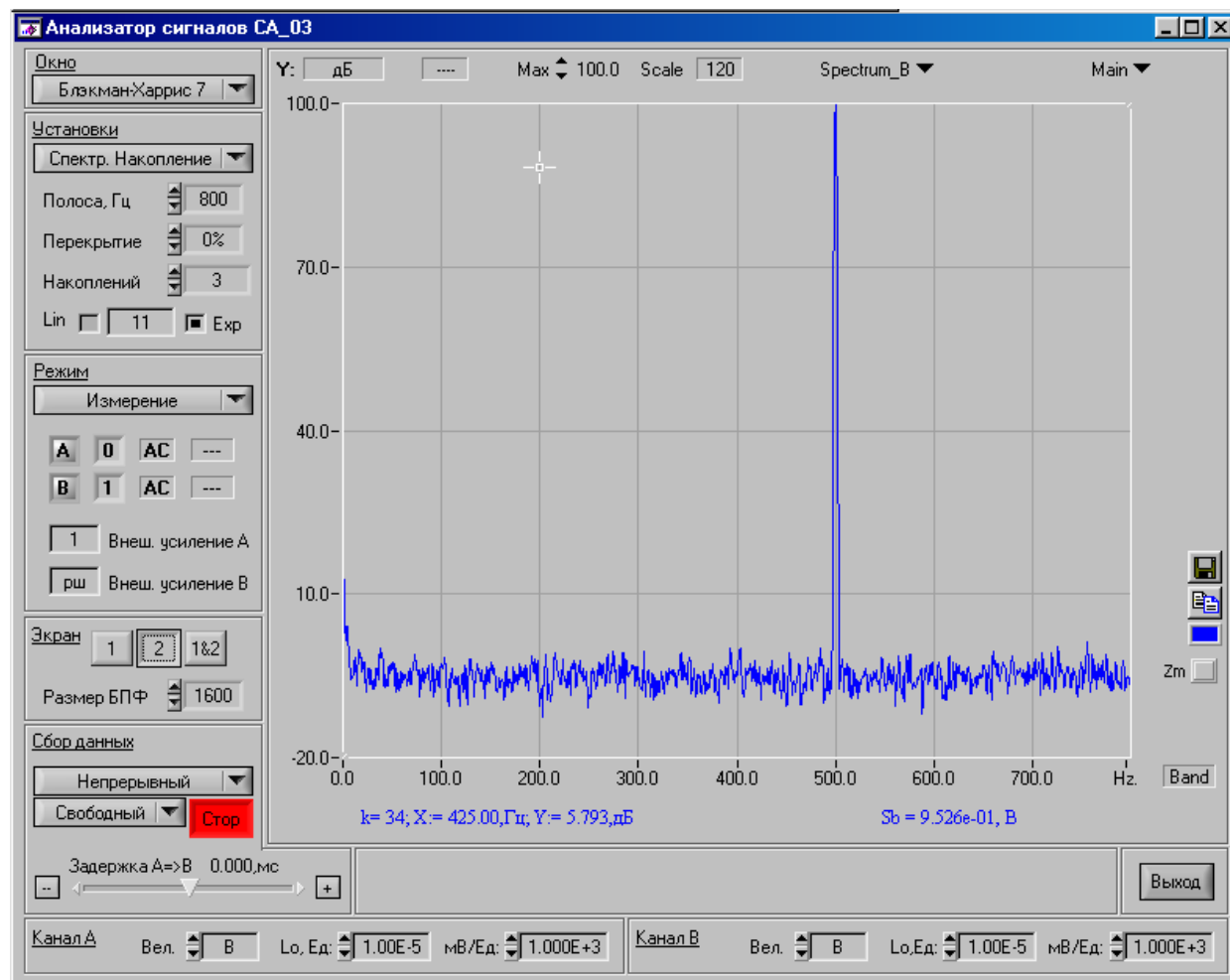


Рис.2.10. Изображение одной из функций, показанных на рис 2.9 – результат активации кнопки 2 поля управления Экран.

В этом поле расположен элемент, обеспечивающий выбор размера БПФ. Пользователю доступны четыре варианта размера 400, 800, 1600, 3200, что обеспечивает соответствующее этим цифрам разрешение при спектральном представлении данных (400, 800, 1600, 3200 полос анализа). При изображении функций во временной области указанным цифрам соответствуют отрезки времени $\Delta T = dt * N$, где dt – шаг квантования, $N = 1024, 2048, 4096, 8192$.

2.5. Стартовый модуль

Стартовый модуль включает в себя набор элементов управления позволяющих формировать широкий набор режимов запуска измерений – рис.2.11.

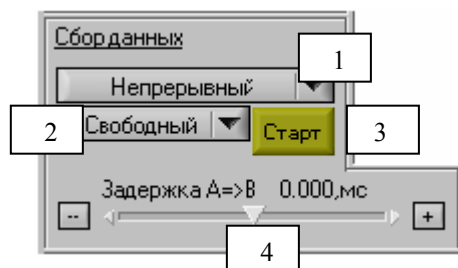
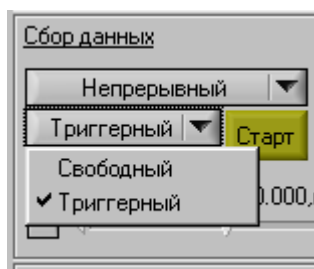


Рис.2.11. Элементы управления стартового модуля:

- 1 – элемент, задающий характер сбора данных из набора:
Непрерывный; По условию;
- 2 – элемент, задающий условия старта из набора:
Свободный; Внешний ТТЛ; Триггерный;
- 3 – элемент, запускающий измерения;
- 4 – элемент, формирующий задержку между каналами.

Элементы стартового модуля связаны динамически. Так, выбор режима - *Непрерывный* сбор данных – рис.2.12а дает возможность выбрать *Свободный* или *Триггерный* старт. Старт *Триггерный* предполагает запуск *По уровню* одного из измерительных каналов, при этом всплывает дополнительная панель – *Установки триггера* – рис.2.12б, где можно выбрать номер запускающего канала, уровень запуска, в вольтах и запускающий склон сигнала и предысторию. При этом канал запуска в поле Режим будет отмечен красным цветом.

а)



б)

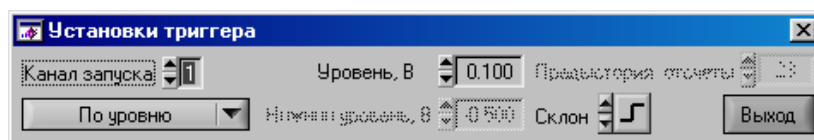


Рис. 2.12. Формирование режима непрерывного сбора при старте по триггеру канала с номером 1 и по фронту сигнала при запуске на уровне 0,1 вольт.

Управляя задержкой можно обеспечить отставание канала «А» от канала «В», отставание канала «В» от канала «А» или синхронный сбор данных.

Регулятор задержки (4), рис.2.11, активируется левой кнопкой мыши. Управление клавишами стрелки клавиатуры, а элементы "-", "+" - левой кнопкой мыши и клавишей "Enter" клавиатуры. Элементы управления задержкой имеют дискретный шаг регулировки, равный приведенному шагу квантования АЦП $dt = 0.390625/f_c$, где f_c -

полоса пропускания, а элементы управления "-", "+" - более крупный шаг, равный $512 \cdot dt$.

Использование того или иного режима запуска измерений определяется выбором постановкой решаемой измерительной задачи и выбранным методом измерений. Так, при использовании метода **Спектрального накопления** могут быть полезны следующие режимы запуска измерений:

1. Сбор данных *Непрерывный*. Старт *Свободный* – обработка стационарных эргодических сигналов.
2. Сбор данных *Непрерывный*. Старт *Триггерный*. По уровню одного из каналов – аналогично предыдущему пункту, но при заданном начальном уровне сигнала.
3. Сбор данных *По условию*. Старт *Внешний ТТЛ* – обработка сигналов развитие которых синхронно с некоторым событием, например, импульсами датчика оборотов ротора.
4. Сбор данных *По Условию*. Старт *Триггерный*. По уровню одного из Каналов – аналогично предыдущему пункту.
5. Сбор данных *По условию*. Старт *Триггерный*. По уровню одного из каналов с предысторией – обработка сигнала, являющегося реакцией исследуемой колебательной системы на импульсное воздействие.

При использовании метода **Синхронного накопления** могут быть полезны следующие режимы запуска измерений:

1. Сбор данных *По условию*. Старт *Внешний ТТЛ* – обработка сигналов развитие которых синхронно с некоторым событием, например импульсами датчика оборотов ротора.
2. Сбор данных *По условию*. Старт *Триггерный*. По уровню одного из Каналов – аналогично предыдущему пункту.
3. Сбор данных *По условию*. Старт *Триггерный*. По уровню одного из каналов с предысторией – обработка сигнала, являющегося реакцией исследуемой колебательной системы на импульсное воздействие.

Для статистической обработки данных могут быть полезны все возможные режимы запуска измерений:

1. Сбор данных *Непрерывный*. Старт *Свободный*.
2. Сбор данных *Непрерывный*. Старт *Триггерный*. По уровню.
3. Сбор данных *По условию*. Старт *Внешний ТТЛ*.
4. Сбор данных *По условию*. Старт *Триггерный*. По уровню.
5. Сбор данных *По условию*. Старт *Триггерный*. Если сигнал выше уровня.
6. Сбор данных *По условию*. Старт *Триггерный*. Если сигнал ниже уровня.
7. Сбор данных *По условию*. Старт *Триггерный*. Если сигнал внутри региона.
8. Сбор данных *По условию*. Старт *Триггерный*. Верхний гистерезис.
9. Сбор данных *По условию*. Старт *Триггерный*. Нижний гистерезис.

На рис.2.13 проиллюстрированы варианты триггерных стартов стартового модуля.

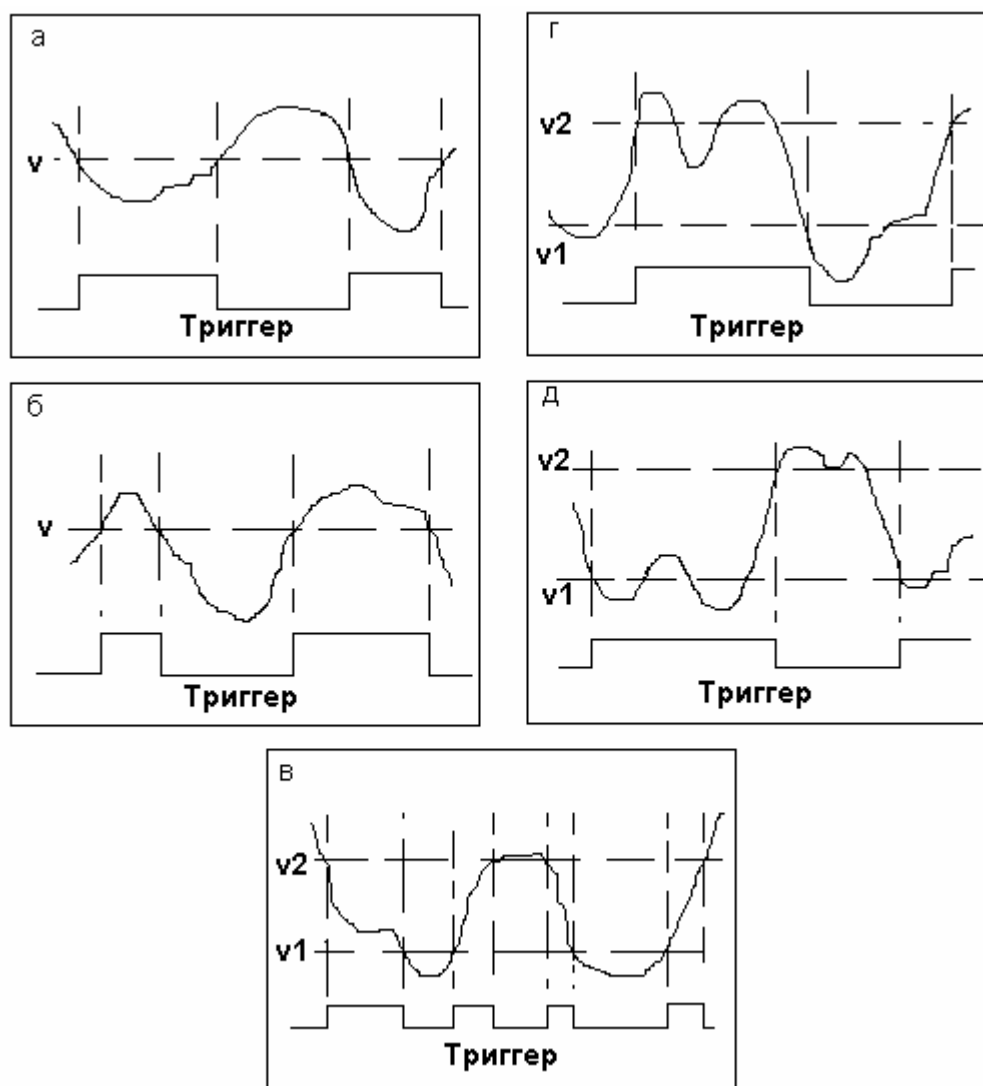


Рис.2.13. Варианты стартов по триггеру:

- а – сбор данных, если сигнал ниже заданного уровня v ;
- б – сбор данных, если сигнал выше заданного уровня v ;
- в – сбор данных, если сигнал внутри региона $v1 - v2$;
- г – отработка верхнего гистерезиса;
- д – отработка нижнего гистерезиса;

2.6. Поля изображения результатов измерений и передачи данных.

На рис. 2.9. показаны два идентичных поля, обеспечивающих выбор измеряемых функций, режимов их изображения и передачи результатов измерений другим приложениям. Эти поля состоят из графических полей-экранов, где непосредственно изображаются результаты измерений. Набор управляющих элементов дает возможность пользователю оперативно вмешиваться в процесс измерения и представления результатов. Элементы управления связаны между собой динамически.

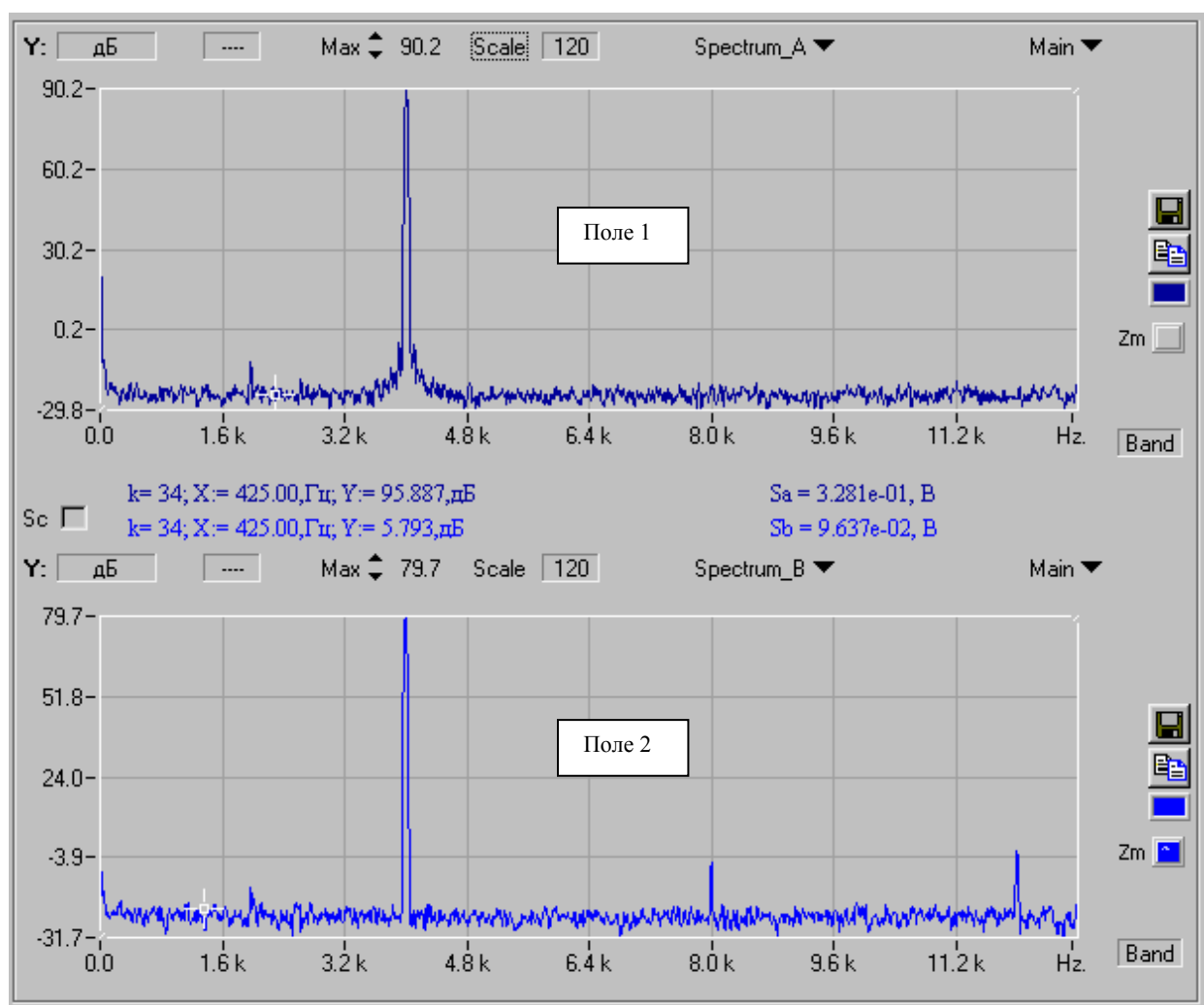


Рис. 2.14. Поля представления результатов измерений.

Так, вызов любой из предлагаемых функции, рис. 2.15, формирует набор возможных режимов представления выбранной функции - масштабы по осям абсцисс и ординат и ее расширения, если функция комплексная. На втором поле показан режим представления автокорреляционной функции - это комплексная функция, поэтому для нее в управляющем «поле 2» предусмотрена дополнительная возможность представления - расширения функции. К ним относятся: *Real Part* – реальная часть;

Image Part – мнимая часть; *Mag.* - модуль; *Phase* - фаза; *Nyquist Plot* - диаграмма Найквиста; *Nichols Plot* – диаграмма Никольса.

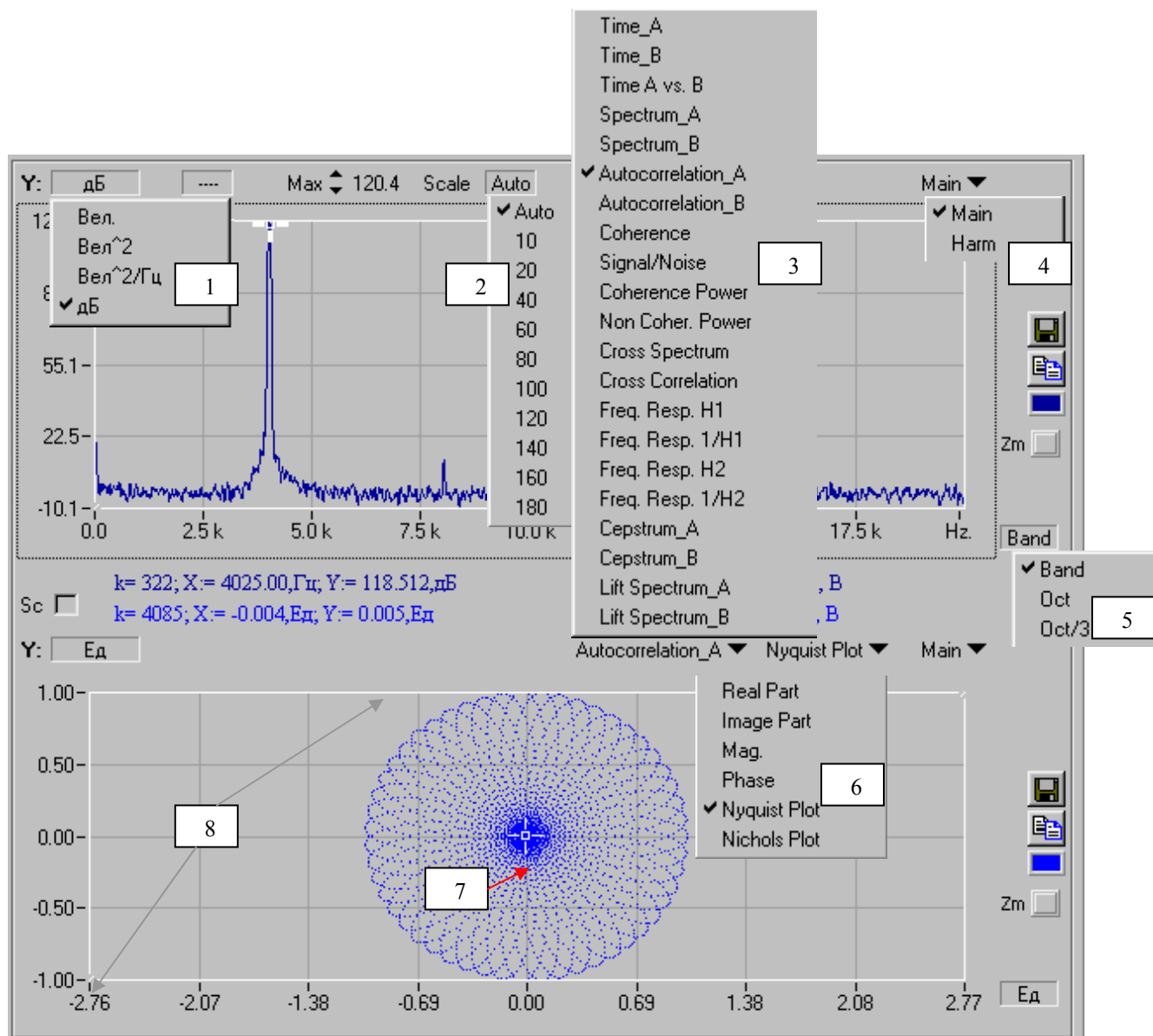


Рис. 2.15. Элементы управления изображением результатов измерений:

- 1 – единицы измерения автоспектра, ось ординат;
- 2 – выбор масштаба представления автоспектра в дБ;
- 3 – набор функций доступных для представления на экране для метода **Спектрального накопления**;
- 4 – следящие курсоры для функции Spectrum. Main – курсор текущих значений. Harm – указатель гармоник;
- 5 – единицы измерения автоспектра, ось абсцисс;
- 6 – набор расширений для комплексной функции Autocorrelation.
- 7 – основной курсор;
- 8 – два вспомогательных курсора.

Каждому экрану принадлежат три курсора - один основной - короткий крест и два вспомогательных - длинные белые кресты. Основной курсор, в активном состоянии, после щелчка по нему левой клавишей мыши, обеспечивает слежение за текущими

значениями представленной на экране функции. Эти значения по мере движения курсора индицируются в полях индикации экрана (1), рис.2.16. (Перемещение активного курсора по графику изображенной функции обеспечивается клавиатурой: стрелка «->» - движение направо; стрелка «<-» - движение налево; «Shift» + одна из стрелок быстрое движение). Вспомогательные курсоры после их последовательной активации и

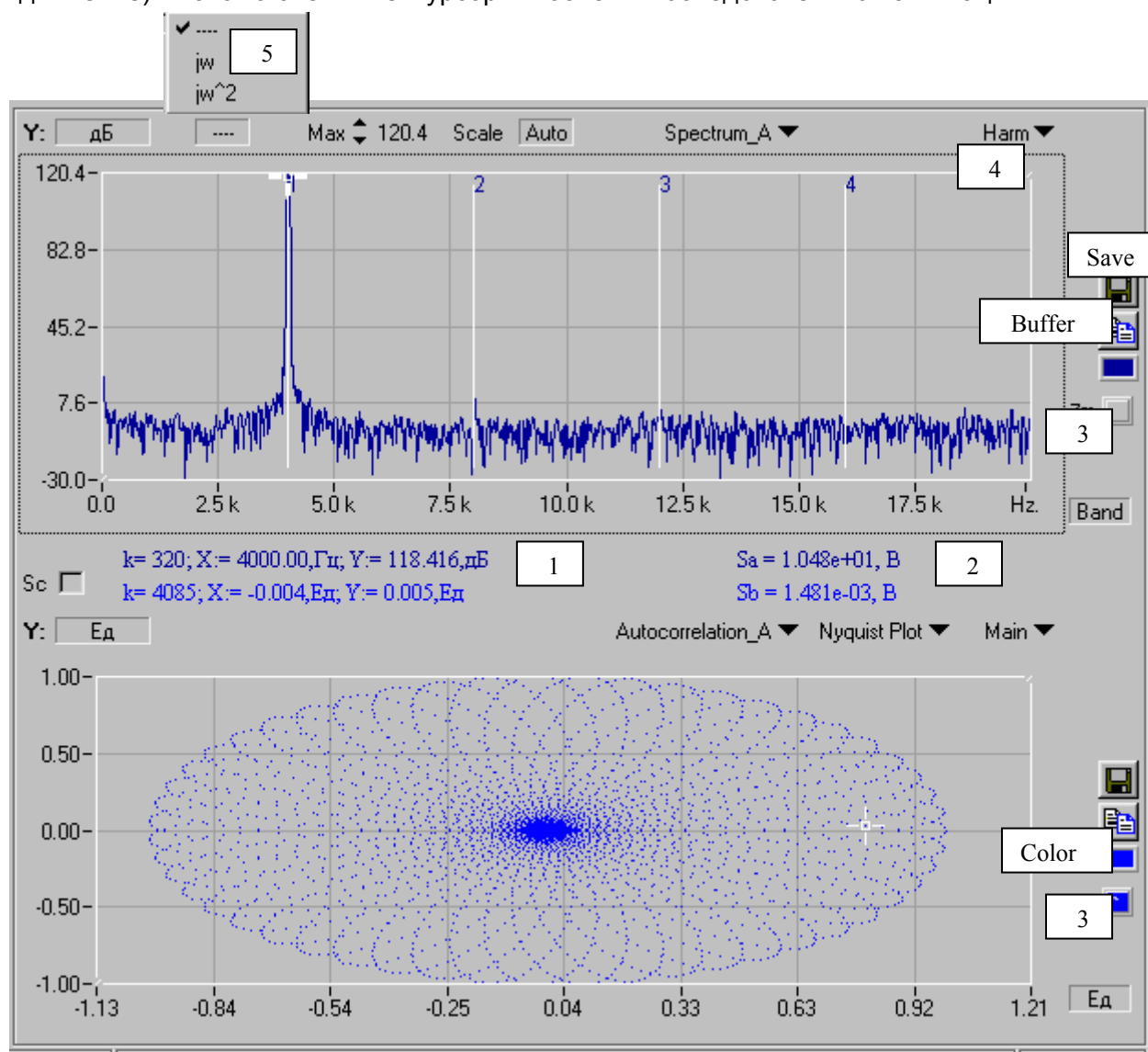


Рис. 2.16. Расширение *Nyquist Plot* комплексной функции *Autocorrelation_A* в режиме Zoom:

- 1- поля индикации основных курсоров, где k – номер текущей точки и ее координаты;
 - 2- поля индикации действующих значений измеряемых величин по каналам «А» и «В»;
 - 3- индикаторы состояния Zoom (Лупа);
 - 4- Включен указатель гармоник;
 - 5- интегрирование в частотной области: jw – интегрирование; jw^2 – двойное интегрирование;
- Save – управление записью в файл значений функции, изображенной на соответствующем экране;
- Buffer – управление передачей графической информации в системный буфер обмена;;
- Color – выбор цвета представления результатов измерений.

перемещении одного - в левый верхний, а второго в нижний правый углы поля участка экрана, которое желательно увеличить, определяют координаты этого поля.

Активация увеличиваемого поля одинарным щелчком правой клавиши мыши приводит к «растягиванию» выбранного участка экрана на весь экран. Возврат к обычному разрешению экрана обеспечивается двойным щелчком правой клавиши мыши в поле экрана. Режим увеличенного масштаба любого экрана полей управления сопровождается изменением цвета индикаторов «Zoom» на цвет графика изображенной на экране функции – рис.2.16.

При анализе реакции системы на импульсное воздействие бывает полезно использовать сглаживание ограниченного участка временного сигнала прямоугольной или экспоненциальной весовыми функциями. С этой целью предусмотрен элемент управления - 1, рис.2.16а, который включает/отключает сглаживание выбранного участка временного сигнала. На верхнем экране временная функция канала А, сглаженная прямоугольной весовой функцией, на нижнем экране спектр сглаженной временной функции.

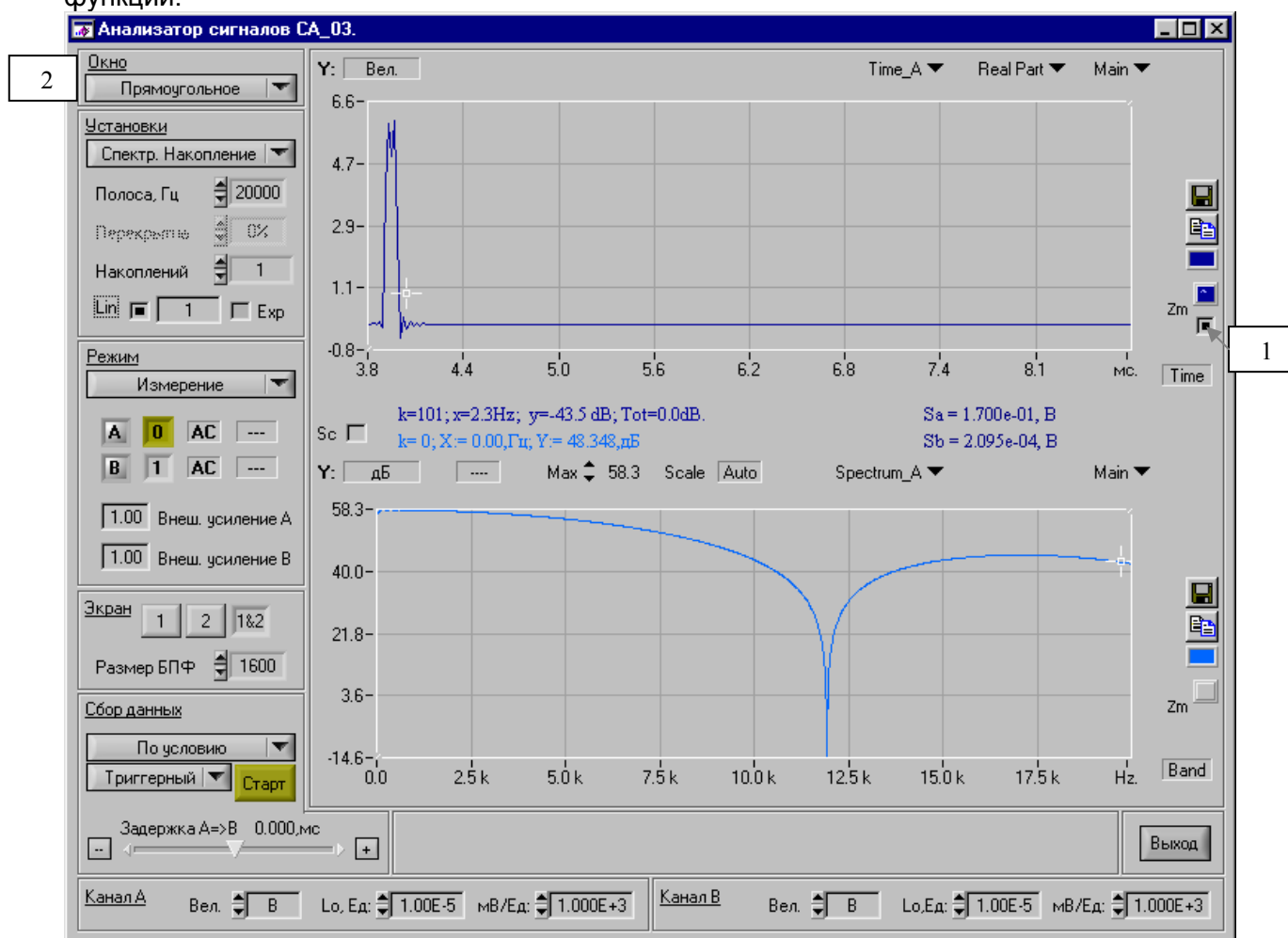


Рис.2.16а. Элемент управления -1, обеспечивающий сглаживание выбранного участка временного сигнала весовой функцией, в данном случае – прямоугольной – 2.

Кроме того, экраны снабжены указателями гармоник - «Harm». Нажатие этой кнопки при активном основном курсоре приводит к построению на графике вертикальных линий, соответствующих второй, третьей и т.д. гармоникам по отношению к координате «X» расположения основного курсора (для функций представленных в частотной области) – рис. 2.16.

При работе с двумя экранами может быть полезна кнопка “Sc” обеспечивающая синхронное перемещение *основных курсоров* обоих экранов, если экраны имеют одинаковые масштабы представления результатов по осям «X».

Кнопка «Save» предназначена для записи в файл изображенной на экране функции. Формат записи обеспечивает возможность вторичной обработки данных средствами приложений Windows, например, Microsoft Excel.

Каждому экрану принадлежат кнопки «Buffer» и «Color».

Активация кнопки «Buffer» заносит в буфер обмена график изображенный на соответствующем экране, после чего эта информация становится доступной другим приложениям, например “Microsoft Word”.

Активация кнопки “Color” изменит цвет изображаемой на экране функции и цвет текста в полях индикации.

2.6.1. Режим сравнения данных

При измерении модуля и фазы передаточных функций предусмотрены дополнительные возможности, обеспечивающие хранение и сравнение частотных характеристик. Эти возможности реализованы с помощью дополнительных управляющих элементов, которые показаны на рис.2.17.

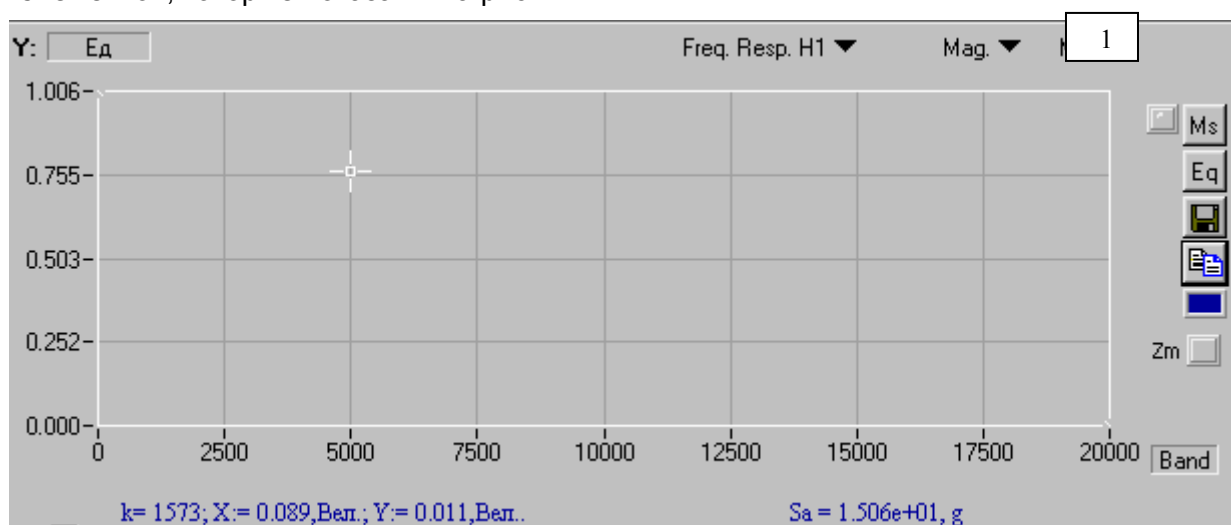


Рис.2.17. Дополнительные управляющие элементы: “Ms” – в память; “Eq” - сравнить; 1 - индикатор изображаемой функции.

Режим сравнения реализован следующим образом. Сначала необходимо занести в память базовую функцию. Для этого достаточно нажать управляющий элемент “Ms” и запустить измерения кнопкой «Старт». По окончании измерений базовая функция будет занесена в память, о чем свидетельствует изменение цвета кнопки “Ms” на зеленый -рис 2.18.

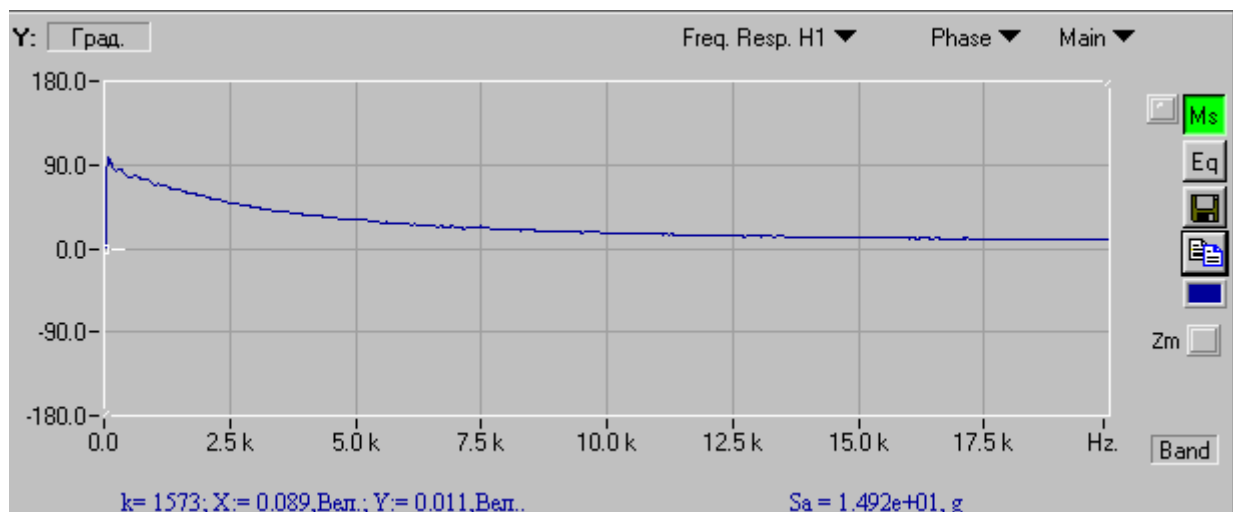


Рис.2.18. Базовая функция – фазовая частотная характеристика - занесена в память.

Если активировать управляющий элемент “Eq” – сравнение, то при последующих измерениях, на соответствующем экране будет изображаться –“Equalized”. Для модуля частотной характеристики это частное от деления базовой функции на соответствующие значения вновь измеренной, а для фазовой частотной характеристики разность между фазой базовой функции и фазой вновь измеренной – рис 2.19.

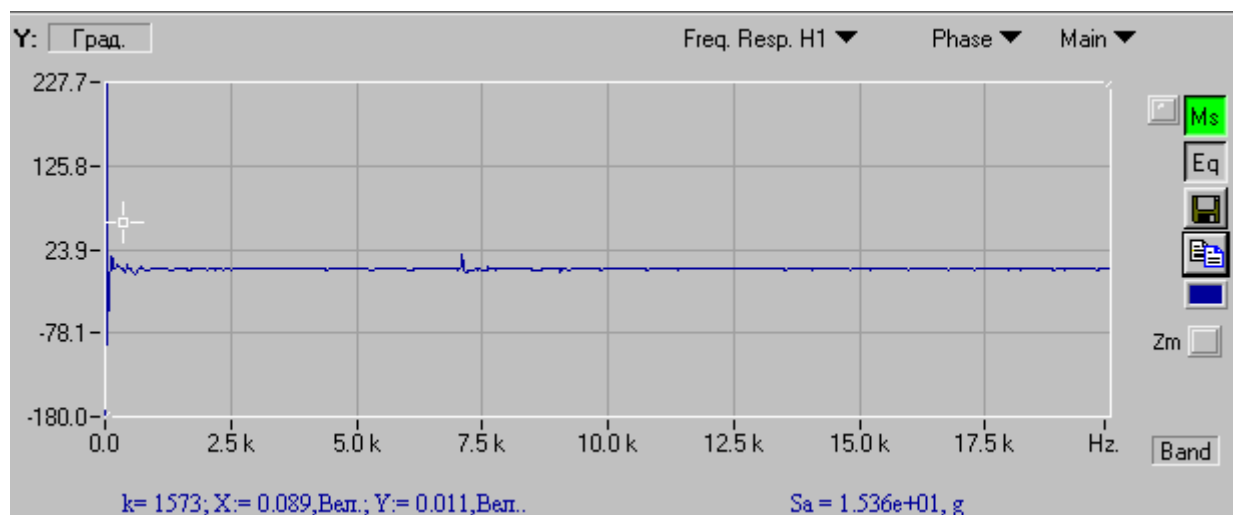


Рис.2.19. Разность между фазой базовой функции и фазой вновь измеренной – “Equalized”.

Последующая активация индикатора – (1) позволит вывести на экран базовую функцию – рис.2.20.

Указанный режим сравнения функций может быть представлен аналитически комплексным выражением

$$\Delta H_k = H_{bk} / H_{tk},$$

где H_{bk} , H_{tk} - базовая и текущая комплексные передаточные функции соответственно на k -ой частоте. Выражения для этих функций даны в разделе 4.

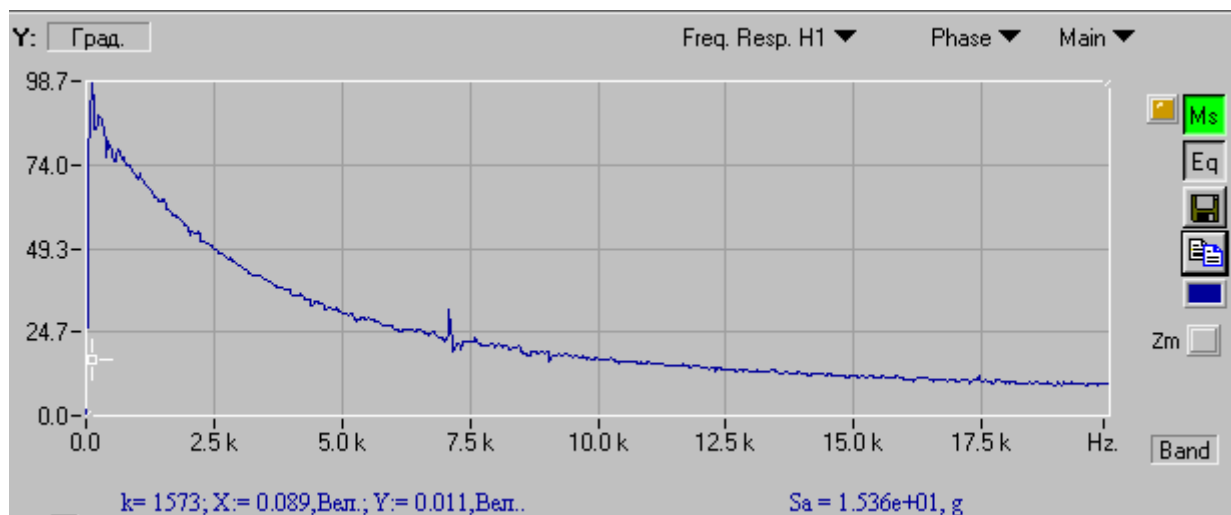


Рис.2.20. Изображение базовой функции в увеличенном масштабе после активации индикатора (1).

3. Режимы измерений

3.1. Калибровка измерительных каналов.

Для калибровки измерительных каналов предусмотрены поля управления, расположенные в самом низу панели управления анализатора сигналов - рис.3.1. В этих полях находятся элементы управления, обеспечивающие выбор размерности – “Вел.”, порогового уровня измеряемых величин – “Lo,Ед.”, а также поля ввода чувствительности первичного приемника – “мВ/Ед.”.

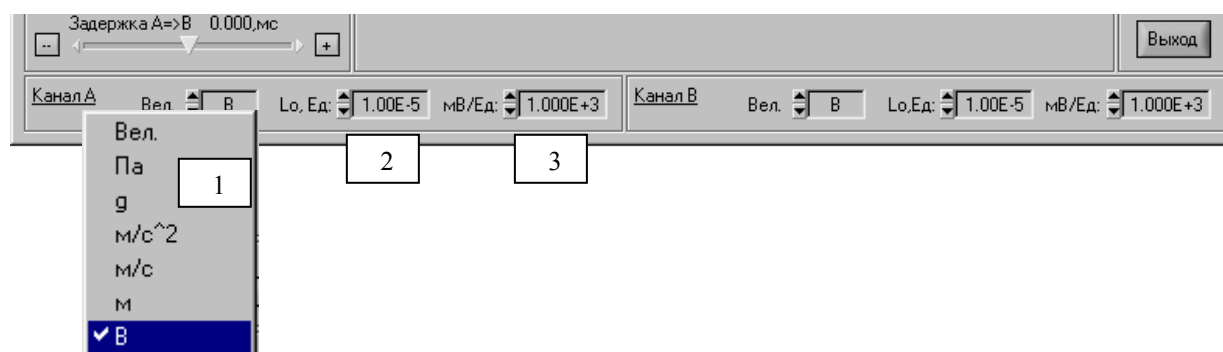


Рис.3.1. Элементы управления поля калибровки:
 1 – выбор размерности измеряемой величины;
 2 – пороговый уровень измеряемой величины;
 3 – чувствительность первичного приемника.

Если чувствительности первичных приемников известны заранее, то достаточно ввести эти значения в *поля ввода*: “*мВ/Ед.*”.

При калибровке каналов от внешнего источника сигнала – калибратора, необходимо в поле ввода данных «Вел» ввести размерности измеряемых величин, при этом в полях “*Lo,Ед.*” появится пороговый уровень сигнала, соответствующий выбранной размерности (в случае необходимости этот уровень можно изменить).

Если в состав первичного измерительного тракта включен измерительный усилитель, то для проведения корректных измерений необходимо учитывать его коэффициент усиления. Для этого в поле “*Внешнее усиление*” необходимо записать значение коэффициента усиления первичных измерительных трактов, соответствующего канала. Если внешние усилители отсутствуют, то коэффициент усиления должен быть записан равными 1.

Записав в указанные поля необходимые данные, следует подсоединить к первичному приемнику образцовый источник, подать калиброванный сигнал и провести измерения, например автоспектра. Для чего в одном из полей изображения необходимо выбрать измеряемую функцию – “Spectrum_A” или “Spectrum_B” (рис. 3.10), в зависимости от калибруемого канала. В поле “*Установки*” выбрать экспоненциальный “*Exp.*” режим накопления данных и нажать кнопку «*Старт*» в поле “*Сбор данных*”, основной панели управления.

Анализатор начнет измерение спектра калибруемого канала, при этом необходимо подбирать чувствительность первичного приемника так, чтобы выполнялось равенство измеряемого действующего значения сигнала заданному уровню сигнала калибратора, выраженному в принятых единицах измерения или децибелах. При совпадении измеренного действующего значения и заданного уровня сигнала процесс калибровки канала следует прекратить, для чего достаточно нажать кнопку «*Стоп*» в поле “*Сбор данных*”.

Следует отметить, что темп подбора чувствительности калибруемого канала может быть увеличен при нажатии клавиши “*Shift*”. Одновременное нажатие клавиш “*Shift + Стрелка вверх*” вызовет быстрое увеличение чувствительности, а сочетание “*Shift + Стрелка вниз*” – быстрое снижение чувствительности. Манипуляция клавишами “*Стрелка вверх*” и “*Стрелка вниз*” обеспечивает более плавное изменение чувствительности калибруемого канала.

Результаты калибровки сохраняются в памяти РС до проведения следующей калибровки. Выключение РС, перезагрузка программы, работа с другим приложением не повлияют на результаты последней калибровки.

3.2. Измерения

3.2.1. Метод Спектрального накопления

Метод Спектрального накопления хорошо зарекомендовал себя и широко используется в вибрационных и акустических измерениях. Метод дает возможность в проводить исследования, как детерминированных гармонических сигналов, эргодических стационарных сигналов, так и реакции объектов на импульсное воздействие.

Для проведения измерения гармонических или стационарных эргодических сигналов необходимо в поле “Установки” выбрать метод измерений *«Спектральное накопление»*, задать количество *накоплений* – *«Накоплений»* и тип накоплений (*“Lin”, “Exp”*), можно задать размер перекрытия данных *Перекрытие* и полосу пропускания – *«Полоса»*. Затем, если используется усилитель заряда РШ2738Э подключить его ко входам анализатора, соединить управляющий кабель с *«Com1»* портом и включить источник питания усилителя.

После чего следует провести калибровку измерительных трактов и адаптацию системы к измеряемым сигналам. Выбрать нужный режим запуска измерений в поле “Сбор данных”. В поле управления режимом изображения выбрать нужную функцию из предлагаемого набора запустить измерения - нажав кнопку *“Старт”*. Последовательность управления процессом измерений может быть и любой другой. Все зависит от решаемой задачи, времени и стоимости эксперимента. Желательно при выборе режимов работы анализатора использовать априорную информацию о характере и длительности исследуемого сигнала.

На рис.3.2. приведены результаты измерений двух независимых сигналов, полученных с помощью двух разных генераторов.

Анализируя спектры, рис.3.2., можно сделать вывод о том, первый генератор – Spectrum_A - имеет гармонические искажения на уровне – 80 дБ. Второй генератор- сумма трех синусов - Spectrum_B имеет ярко выраженные максимумы на частотах 9, 11 и 21 Гц, что соответствует заданным параметрам сигнала.

Для измерения импульсных сигналов достаточно изменить условия запуска анализатора. Для этого в поле «Сбор данных» необходимо поставить режим сбор данных *«По условию»*, а старт *«Триггерный»*, *«По Уровню»* с предысторией. В качестве весового окна в поле “Окно” следует выбрать либо: *“Прямоугольное”* либо *«Экспоненциальное»* окно.

Все эти изменения настроек анализатора связаны со спецификой измерений импульсных сигналов.

На рис. 3.3 показан импульсный сигнал, сформированный генератором формы волны.

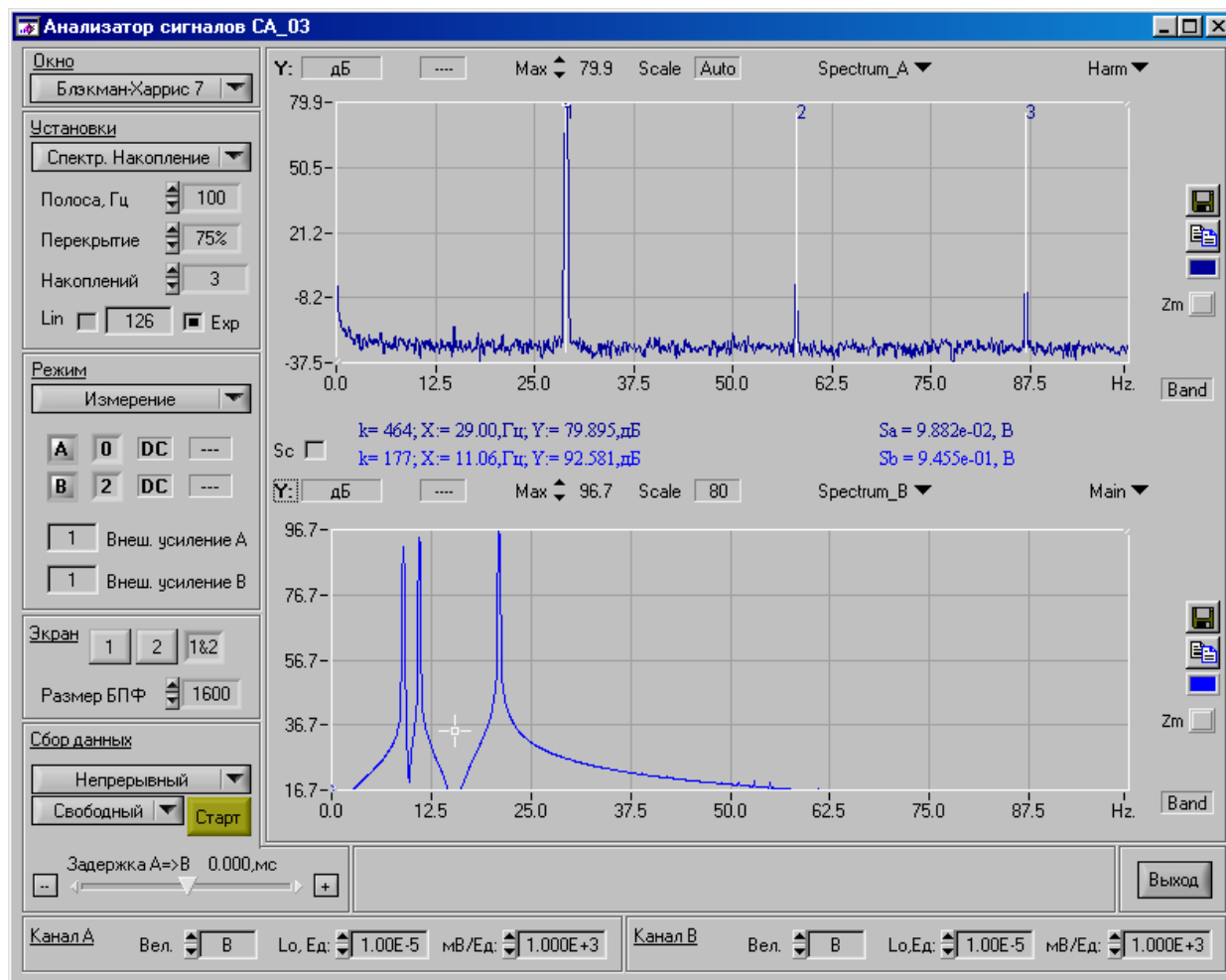


Рис.3.2. Спектры гармонических сигналов двух независимых генераторов:

Канал «А» - синус с частотой 29 Гц и амплитудой 0,13 В;
 Канал «В» - сумма трех синусов с частотами 9, 11, 21 Гц и относительными амплитудами 1, 0.5, 0.7 и действующим значением = 0,95 В.

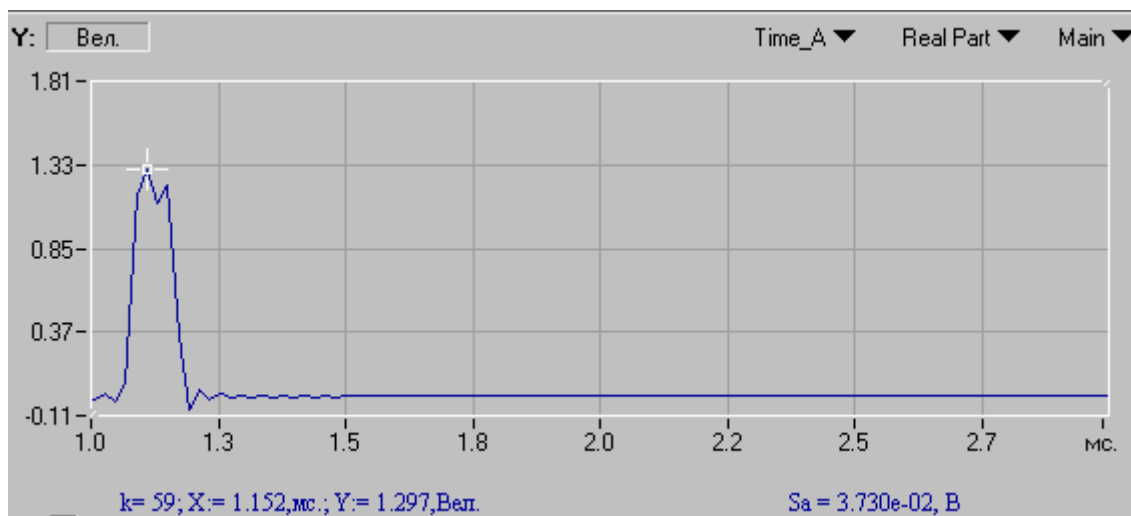


Рис. 3.3. Импульсный сигнал. Источник - генератор формы волны.

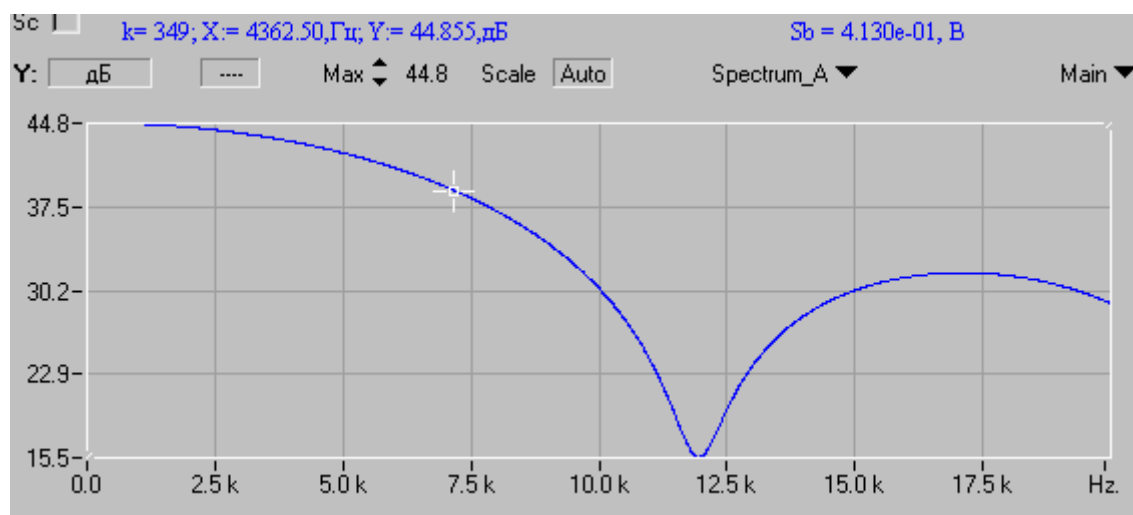


Рис.3.4. Спектр импульса представленного на рис.3.3.

3.2.2. Метод Синхронного накопления

Для проведения измерений методом Синхронного накопления необходимо подсоединить и настроить аппаратуру измерительных трактов аналогично предыдущему параграфу.

Анализатор должен быть настроен на выбранный метод измерений, для чего в поле Установки необходимо выбрать метод *Синхронное накопление*, стартовый модуль должен обеспечить сбор данных *По условию* и *старт* либо *Триггерный*, *По уровню*, либо *Внешний ТТЛ*.

Результаты измерений реальной части сигнала представляющего собой сумму сигналов - шума Гаусса и синуса, отношение действующих значений которых составляет $S_N / S_S = 0.12$, показаны на рис.3.5, рис.3.6.

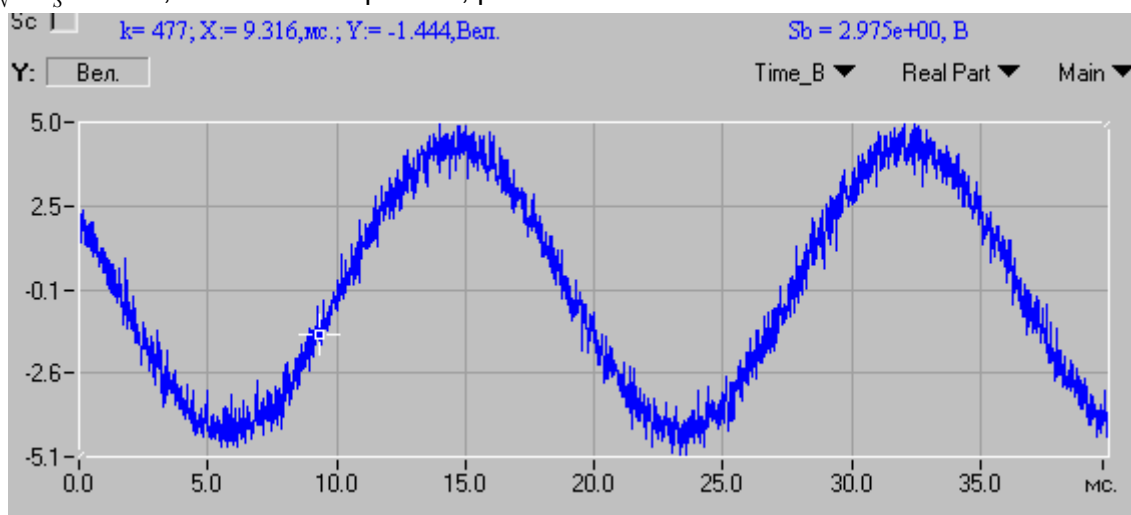


Рис.3.5. Сумма гармонического сигнала и шума. $S_N / S_S = 0.12$. Без накопления.

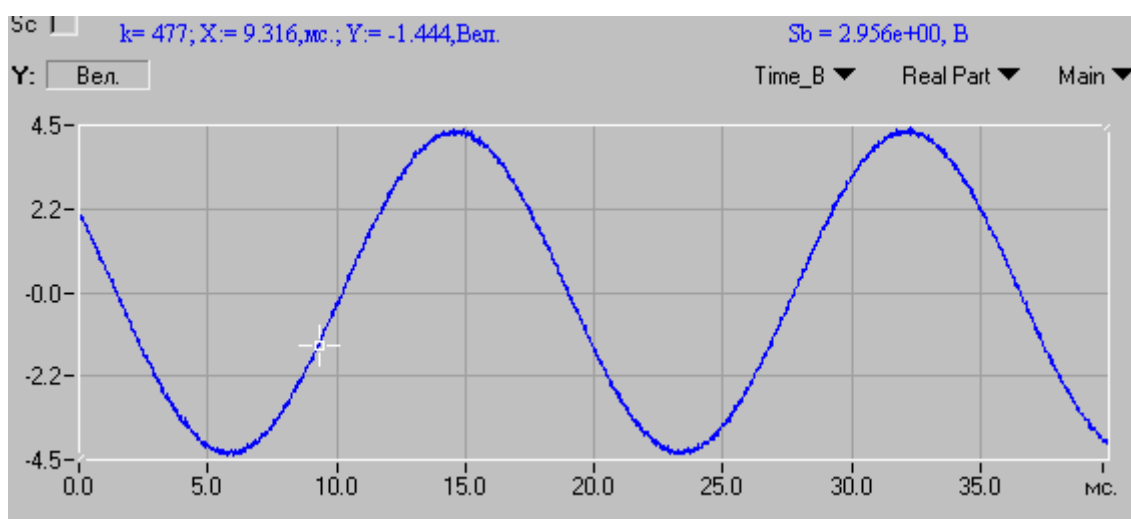


Рис.3.6. Результат линейного накопления сигнала показанного на рис.3.5. Использован метод синхронного накопления. Число накоплений 77.

3.2.2. Статистические Распределения

Для получения статистических распределений исследуемых сигналов можно использовать двухканальный анализатор - метод Распределения. На рис.3.7. показана основная панель управления анализатора с установками, обеспечивающими этот режим работы.

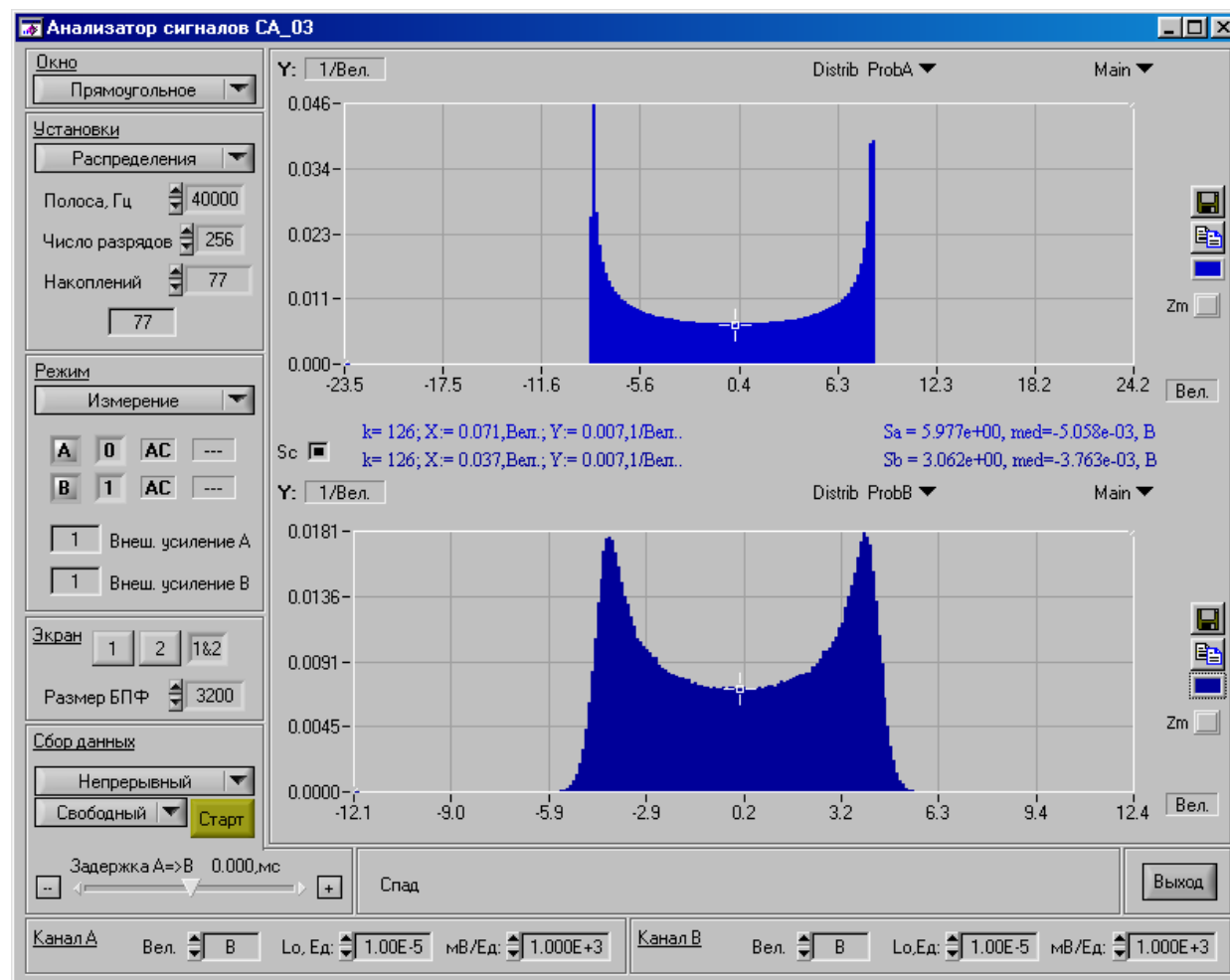


Рис.3.7. Установки анализатора для получения статистических распределений сигналов.

На экранах виды распределения сигналов: верхний экран – распределение синуса; нижний экран – распределение суммы сигналов - шума Гаусса и синуса.

Следует напомнить, что стартовый модуль в режиме измерения статистических распределений обеспечивает девять вариантов запуска:

1. Сбор данных *Непрерывный*. Старт *Свободный*.
2. Сбор данных *Непрерывный*. Старт *Триггерный*. По уровню.
3. Сбор данных *По условию*. Старт *Внешний ТТЛ*.
4. Сбор данных *По условию*. Старт *Триггерный*. По уровню.
5. Сбор данных *По условию*. Старт *Триггерный*. Если сигнал выше уровня.
6. Сбор данных *По условию*. Старт *Триггерный*. Если сигнал ниже уровня.
7. Сбор данных *По условию*. Старт *Триггерный*. Если сигнал внутри региона.
8. Сбор данных *По условию*. Старт *Триггерный*. Верхний гистерезис.
9. Сбор данных *По условию*. Старт *Триггерный*. Нижний гистерезис

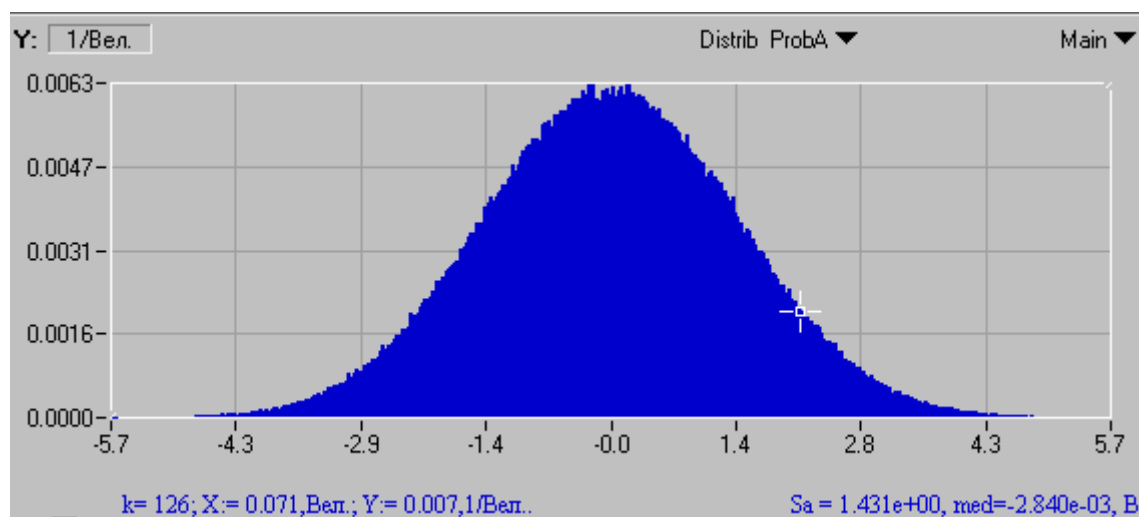


Рис.3.8. Распределение мгновенных значений шума Гаусса. Действующее значение 1.43 В.

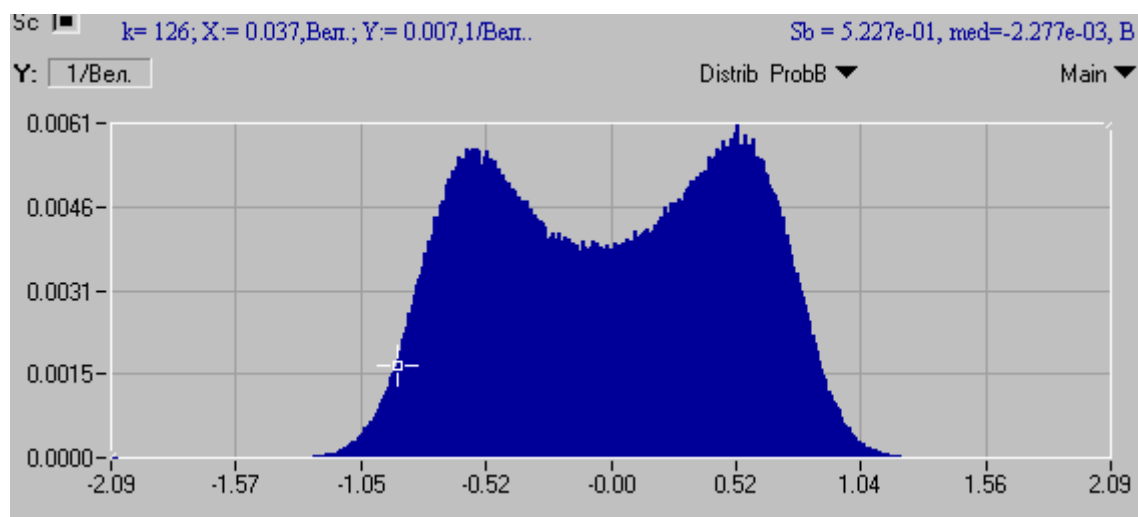


Рис.3.9. Распределение мгновенных значений суммы двух сигналов – свипирующий синус и шум Гаусса.

3.4. Режим обработки данных из файлов

Нажатие кнопки выбора источника данных в поле *“Файл источник”* - рис.3.1 вызывает появление всплывающего окна, в котором предлагается выбрать интересующий пользователя файл данных. После выбора файла (1) появится поле управления режимом *“Файл источник”*, где расположены текстовое окно с именем выбранного для обработки файла (2) и коммутатор номеров каналов (3), записанных в файл данных. Вверху, на титульном месте появится эксклюзивная информация о файле, характеризующая режим записи данных в файл цифровым регистратором «МА_31». Нажатие левой клавишей мыши в поля элементов коммутатора вызовет “подключение” (“отключение”) данных, записанных по каналу в файл, ко входам “А”, “В” анализатора.

Управление анализатором в режиме «Файл источник» аналогично работе с анализатором режиме «Измерения».

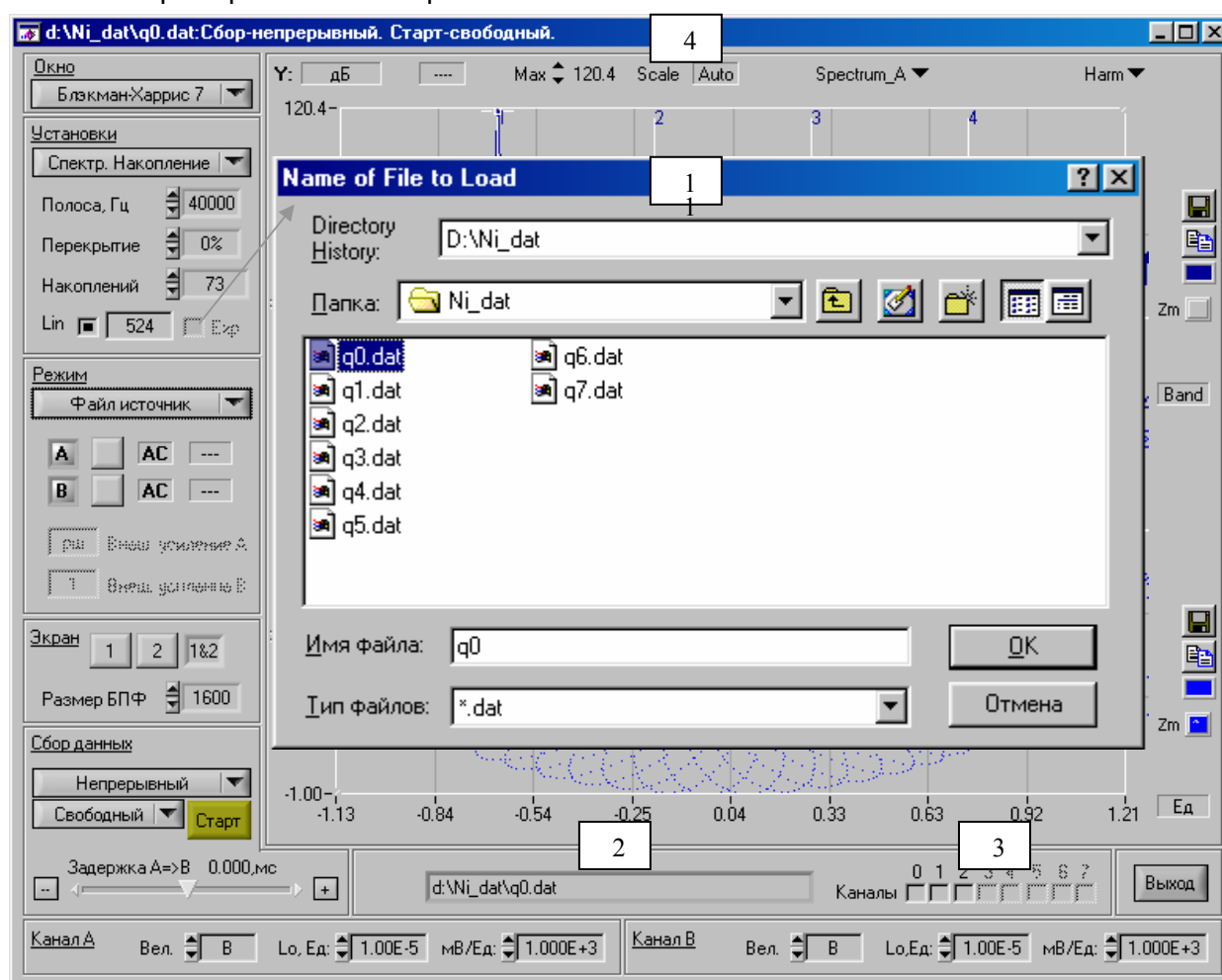


Рис.3.. Режим работы анализатора “Файл источник” – источник данных файл:
1 – дополнительное всплывающее окно для выбора файла данных для обработки;
2 – индикатор имени выбранного файла данных;
3 – номера каналов, по которым в выбранном файле записаны данные;
4 – поле эксклюзивной информации о файле.

4. Используемые символы и определения функций.

4.1. Принятые обозначения символов.

t -	Переменная во временной области.
τ -	Временная задержка.
Δt -	Интервал выборки (шаг квантования).
n -	Индекс во временной области.
$a(n), b(n)$ -	Реализация во временной области, каналы А и В.
$R_a(n), R_b(n)$ -	Нормированные автокорреляционные функции, каналы А и В.
$R_{ab}(n)$ -	Нормированная функция взаимной корреляции.
$w(n)$ -	Весовая функция.
f -	Переменная в частотной области.
k -	Индекс в частотной области.
Δf -	Разрешение по частоте.
F -	Частотный диапазон.
$G_a(k), G_b(k)$ -	Мгновенный, односторонний спектр, канал А и В.
$G_{AA}(k), G_{BB}(k)$ -	Сглаженный, односторонний спектр, канал А и В.
$G_{AB}(k)$ -	Взаимный спектр, односторонний.
$H_{AB}(k)$ -	Частотная характеристика.
$\gamma_{AB}^2(k)$ -	Функция когерентности.
$COP(k)$ -	Когерентная выходная мощность.
$NCOP(k)$ -	Некогерентная выходная мощность.
$\frac{N}{S}(k)$ -	Отношение шума к сигналу.
$w(k)$ -	Весовая функция.

4.2. Операторы.

FT -	Преобразование Фурье: $X(k) = \frac{1}{N} \sum_{n=0}^{N-1} x(n) \exp(-j \frac{2\pi kn}{N}).$
IFT -	Обратное преобразование Фурье: $x(n) = \sum_{k=0}^{N-1} X(k) \exp(j \frac{2\pi kn}{N}), \text{ где } n = n\Delta t, k = k\Delta f.$
$[\ast]$ -	Комплексное сопряжение.
$[-]$ -	Усреднение.

4.3. Определения функций.

Мгновенные односторонние спектры

$$G_a(k) = \begin{cases} S_a(k), \text{ для } k = 0 \\ 2 \cdot S_a(k), \text{ для } 1 < k < N/2 - 1 \\ 0, \text{ для } N/2 - 1 \end{cases},$$

где $S_a(k) = FT[w(n) \cdot a(n)]$ - мгновенный двухсторонний спектр.

Аналогично для канала В. Мгновенные комплексные спектры на экранах анализатора не изображаются.

Сглаженный, односторонний спектр (Spectrum_A, Spectrum_B)

$$G_{AA}(k) = \overline{G_a^*(k)} \cdot G_a(k) = |G_a(k)|^2$$

На экранах анализатора изображаются

Представление по оси «Y»:

- среднеквадратичное значение;
- энергия;
- плотность энергии;
- уровень в дБ.

Представление по оси «X»:

- узкополосное;
- октавное;
- одна треть октавы.

Сказанное выше справедливо и для канала В.

Взаимный спектр (Cross Spectrum)

$$G_{AB}(k) = \overline{G_a^*(k)} \cdot G_b(k).$$

На экранах анализатора изображаются :

- реальная часть (Real Part);
- мнимая часть (Image Part);
- модуль (Magnitude);
- фаза (Phase).
- диаграмма Найквиста (Nyquist Plot);
- диаграмма Никольса (Nichols Plot);

Размерности по оси «Y» для действительной, мнимой частей и модуля:

- энергии;
- плотность энергии;
- уровень в дБ.

Для Фазы градусы (Degree). Представление по оси «X»: узкополосное.

Диаграмма Найквиста - $im_k(re_k)$ - зависимость мнимой нормированной составляющей взаимного спектра от реальной нормированной составляющей взаимного спектра на k -ой частоте.

Размерности по осям “Y” и “X”:

- безразмерная величина (wd);

Диаграмма Николса $mag_k(Phase_k)$ - зависимость нормированного модуля взаимного спектра от фазовой составляющей взаимного спектра на k -ой частоте.

Размерности по осям "Y":

- безразмерная величина (wd);
- уровень в дБ.

Размерности по оси "X":

- градусы (Deg.).

Нормирование реальной части, мнимой части и модуля выполняется в соответствии с выражением

$$im_k = \frac{Im_k}{\sqrt{\sum_k G_{AA}(k) * \sum_k G_{BB}(k)}}.$$

Частотная характеристика (Freq. Response H_1).

$$H_1(k) = \frac{\overline{G_{AB}(k)}}{\overline{G_{AA}(k)}}.$$

На экранах анализатора изображаются :

- реальная часть (Real Part);
- мнимая часть (Image Part);
- модуль (Magnitude);
- фаза (Phase).
- диаграмма Найквиста (Nyquist Plot);
- диаграмма Никольса (Nichols Plot).

Размерности по оси «Y» для реальной, мнимой частей и модуля:

- безразмерная величина (wd);
- уровень в дБ.

Для Фазы градусы (Degree). Представление по оси «X»: узкополосное.

Диаграмма Найквиста - зависимость мнимой составляющей $H_1(k)$ от реальной $H_1(k)$ на k -ой частоте.

Размерности по осям "Y" и "X":

- безразмерная величина (wd);

Диаграмма Николса - зависимость модуля $H_1(k)$ от фазовой составляющей $H_1(k)$ на k -ой частоте.

Размерности по осям "Y":

- безразмерная величина (wd);
- уровень в дБ.

Размерности по оси "X":

- градусы (Deg.).

Частотная характеристика (Freq. Response $1/H_1$).

Представления по осям «H» и «X» аналогичны представлениям функции **Freq. Response H_1** .

Частотная характеристика (Freq. Response H_2).

$$H_2(k) = \frac{\overline{G_{BB}(k)}}{\overline{G_{AB}^*(k)}}.$$

На экранах анализатора изображаются :

- реальная часть (Real Part);
- мнимая часть (Image Part);
- модуль (Magnitude);
- фаза (Phase).
- диаграмма Найквиста (Nyquist Plot);
- диаграмма Никольса (Nichols Plot).

Размерности по оси «Y» для реальной, мнимой частей и модуля:

- безразмерная величина (wd);
- уровень в дБ.

Для Фазы градусы (Degree). Представление по оси «X»: узкополосное.

Диаграмма Найквиста - зависимость мнимой составляющей $H_2(k)$ от реальной $H_2(k)$ на k -ой частоте.

Размерности по осям “Y” и “X”:

- безразмерная величина (wd);

Диаграмма Николса - зависимость модуля $H_2(k)$ от фазовой составляющей $H_2(k)$ на k -ой частоте.

Размерности по осям “Y”:

- безразмерная величина (wd);
- уровень в дБ.

Размерности по оси “X”:

- градусы (Deg.).

Частотная характеристика (Freq. Response $1/H_2$).

Представления по осям «Н» и «Х» аналогичны представлениям функции **Freq. Response H_2** .

Функция когерентности (Coherence).

$$\gamma_{AB}^2(k) = \frac{|\overline{G_{AB}(k)}|^2}{\overline{G_{AA}(k)} * \overline{G_{BB}(k)}}.$$

Отношение сигнал/шум (Signal/ Noise)

$$\frac{S}{N}(k) = \frac{\gamma_{AB}^2(k)}{1 - \gamma_{AB}^2(k)}.$$

Размерности по оси «Y» :

- безразмерная величина (wd);
- уровень в дБ.

Представление по оси «X»:

- узкополосное;
- октавное;

- одна треть октавы.

Когерентная и некогерентная выходная мощность (Coherence Power, Non_Coherence Power).

$$COP(k) = \gamma_{AB}^2(k) \cdot G_{BB}(k).$$

$$NCOP(k) = (1 - \gamma_{AB}^2(k)) \cdot G_{BB}(k).$$

Размерности по оси «Y» :

- энергии;
- уровень в дБ.

Представление по оси «X»:

- узкополосное;
- октавное;
- одна треть октавы.

Нормированная автокорреляционная Функция, канал A, B (Autocorrelation).

$$R_A(n) = \frac{R_{aa}(n)}{R_{aa}(n=0)},$$

где $R_{aa}(n) = IFT[w(k) \cdot \overline{G_{AA}(k)}]$.

На экранах анализатора изображается:

- реальная часть (Real Part);
- мнимая часть (Image Part);
- модуль (Magnitude);
- фаза (Phase).
- диаграмма Найквиста (Nyquist Plot);
- диаграмма Никольса (Nichols Plot).

Размерности по оси «Y» для реальной, мнимой частей и модуля:

- безразмерная величина (wd);
- уровень в дБ.

Для Фазы градусы (Degree). Представление по оси «X»: узкополосное.

Диаграмма Найквиста - зависимость мнимой составляющей $R_a(n), R_b(n)$ от реальной составляющей $R_a(n), R_b(n)$ для составляющей n .

Размерности по осям "Y" и "X":

- безразмерная величина (wd);

Диаграмма Никольса - зависимость модуля $R_a(n), R_b(n)$ от фазовой составляющей $R_a(n), R_b(n)$ для составляющей n .

Размерности по осям "Y":

- безразмерная величина (wd);
- уровень в дБ.

Размерности по оси "X":

- градусы (Deg.).

Нормированная функция взаимной корреляции (Cross Correlation)

$$R_{AB}(n) = \frac{R_{ab}(n)}{\sqrt{R_{aa}(n=0) \cdot R_{bb}(n=0)}},$$

$$\text{где } R_{aa}(n) = IFT[w(k) \cdot \overline{G_{AB}(k)}].$$

На экранах анализатора изображается:

- реальная часть (Real Part);
- мнимая часть (Image Part);
- модуль (Magnitude);
- фаза (Phase).
- диаграмма Найквиста (Nyquist Plot);
- диаграмма Никольса (Nichols Plot).

Размерности по оси «Y» для реальной, мнимой частей и модуля:

- безразмерная величина (wd);
- уровень в дБ.

Для Фазы градусы (Degree). Представление по оси «X»: узкополосное.

Диаграмма Найквиста - зависимость мнимой составляющей $R_{ab}(n)$ от реальной составляющей $R_{ab}(n)$ для составляющей n .

Размерности по осям "Y" и "X":

- безразмерная величина (wd);

Диаграмма Николса - зависимость модуля $R_{ab}(n)$ от фазовой составляющей $R_{ab}(n)$ для составляющей n .

Размерности по осям "Y":

- безразмерная величина (wd);
- уровень в дБ.

Размерности по оси "X":

- градусы (Deg.).

Мгновенная временная функция

$$a_z(n) = a(n) + j \tilde{a}(n),$$

где $0 < n < N - 1$ - число дискретных отсчетов;

$a(n), \tilde{a}(n)$ - реальная и мнимая части аналитической временной функции $a_z(n)$;

$\tilde{a}(n) = \eta[a(n)]$ - преобразование Гильберта;

$$a_z(n) = F^{-1}[G_a(k)], \text{ где } G_a(k) = \begin{cases} S_a(k) \text{ при } k = 0 \\ 2S_a(k) \text{ при } 1 < k < N/2 - 1 \\ 0 \text{ для } N/2 < k < N - 1 \end{cases}$$

$$S_a(k) = F[a(n)].$$

Изображается на экране:

- действительная часть;
- мнимая часть;
- модуль;
- фаза;
- диаграмма Найквиста;

- диаграмма Никольса.

Кепстр

$$C_{za}(n) = F^{-1}[10\log_{10}(\overline{G_{aa}(k)})],$$

$$0 < n < N-1, 0 < k < N-1,$$

Принято изображать:

- действительную часть;
- мнимую часть;
- модуль.

Профильтрованный спектр.

$$G_{aa}^L(k) = F[w(n)C_{za}(n)],$$

$$0 < n < N-1, 0 < k < N-1,$$

$w(n)$ –используемый лифтр.

Принято изображать:

- СКЗ
- Мощность;
- Спектральная плотность мощности;
- Спектральная плотность энергии.

Усреднение (сглаживание) - применяется для повышения точности измерений при обработке случайных сигналов и выделения полезного сигнала на фоне шумов.

Линейное усреднение (Lin)

$$Y_n = (1 - \frac{1}{n}) \cdot Y_{n-1} + \frac{X_n}{n},$$

где Y_n, Y_{n-1} - средние значения после n и $n-1$ циклов усреднения
соответственно;

X_n - текущее значение усредняемой величины.

Экспоненциальное усреднение (Exp)

$$Y_n = (1 - \frac{1}{N}) \cdot Y_{n-1} + \frac{X_n}{N}$$

где Y_n, Y_{n-1} - средние значения после n и $n-1$ циклов усреднения
соответственно;

X_n - текущее значение усредняемой величины;

N - заданное число усреднений.

5. ТРЕБОВАНИЯ БЕЗОПАСНОСТИ

По степени защиты от поражения электрическим током ПЭВМ, на базе которой создан прибор СА-02, относится к классу защиты I в соответствии с требованиями ГОСТ 26104-89.

ПЭВМ имеет сетевой шнур, у которого зажим защитного заземления является частью сетевой вилки;

В ПЭВМ, подключаемой к сети, имеются опасные напряжения, поэтому при её эксплуатации, контрольно-профилактических и регулировочных работах, производимых с ПЭВМ, необходимо строго соблюдать соответствующие меры предосторожности:

- 1) Перед включением ПЭВМ в сеть питания проверить исправность сетевого соединительного шнура и соединение зажима защитного заземления ПЭВМ с шиной защитного заземления;
- 2) Соединение зажима защитного заземления ПЭВМ с шиной защитного заземления производить раньше других присоединений к ПЭВМ, а отсоединение – после всех отсоединений;
- 3) В случае использования ПЭВМ, совместно с другой аппаратурой при проведении измерений при обслуживании и ремонте или включении ПЭВМ в состав установок соедините зажимы защитного заземления всей аппаратуры в целях выравнивания потенциалов корпусов;
- 4) При ремонте ПЭВМ замену любого элемента, производить только при отключенном от сети питания сетевом соединительном шнуре;
- 5) Руководствоваться техникой безопасности из руководства пользователя ПЭВМ.

Разборку схем подключений к ПЭВМ, начинать с отключения от сети питания всей аппаратуры, последней отключить ПЭВМ.

Для предотвращения выхода из строя прибора СА-02 на входные разъемы необходимо подавать сигналы с параметрами, указанными в таблице (Таблица 1).

Таблица 1

Параметры сигналов, подаваемых на разъемы прибора СА-02

Разъемы SMB	Описание входного сигнала
<Ch0, ..Ch7>	Входы каналов анализатора. Максимальное напряжение входа, амплитуда $\pm 10B$.
<EXT. TRIG.>	Вход внешнего сигнала управления, ТТЛ уровня

6. Условия применения прибора

Нормальные условия применения прибора указаны в таблице (Таблица 2).

Таблица 2

Нормальные условия применения (зависят от типа ПЭВМ)

Температура окружающего воздуха	20±5 °С
Относительная влажность воздуха	от 30 до 80 % при температуре 25 °С
Атмосферное давление	84 – 106 кПа (630 – 795 мм рт. ст.)
Частота питающей сети ПЭВМ	50±0,5 Гц
Напряжение питающей сети переменного тока ПЭВМ	220±4,4 В
Форма кривой переменного напряжения питающей сети ПЭВМ	синусоидальная

Рабочие условия применения прибора указаны в таблице (Таблица 3).

Таблица 3

Рабочие условия применения (зависят от типа ПЭВМ)

Температура окружающего воздуха	От 5 до 40 °С
Относительная влажность воздуха	90 % при температуре 25 °С
Атмосферное давление	70 – 106,7 кПа (537 – 800 мм рт. ст.)

7. Состав прибора

Состав комплекта поставки прибора указан в таблице 7.1

Таблица 7.1

Наименование, тип	Количество	Примечание
1)Двухканальный анализатор сигналов СА-03 на базе РС	1	
2)Кабели соединительные SMB - BNC	9	
3)Кабель питания	1	
4)Руководство по эксплуатации СА-03	1	

Литература

1. Грибанов Ю.И., Мальков В.Л. Спектральный анализ случайных процессов. М., «Энергия», 1974.

Гарантийные обязательства

Гарантийный талон №_____ на Анализатор сигналов СА_03

Предприятие-изготовитель гарантирует безотказную работу анализатора сигналов СА_03 в течение гарантийного срока 18 (двенадцать) месяцев со дня его продажи при условии соблюдения потребителем требований руководства по эксплуатации.

В случае выхода прибора из строя по вине предприятия изготовителя, в период гарантийного срока производится бесплатный ремонт или его замена по усмотрению предприятия изготовителя.

Тел. (095)480 3600, 480 3311

Дата продажи _____ 200__ г.

Подпись представителя фирмы _____

М.П.

-----*Линия отреза (эта часть гарантийного талона остается у изготовителя)*-----

Гарантийный талон №_____ на Анализатор сигналов СА_03

Предприятие-изготовитель гарантирует безотказную работу анализатора сигналов СА_03 в течение гарантийного срока 18 (двенадцать) месяцев со дня его продажи при условии соблюдения потребителем требований руководства по эксплуатации.

В случае выхода прибора из строя по вине предприятия изготовителя, в период гарантийного срока производится бесплатный ремонт или его замена по усмотрению предприятия изготовителя.

Тел. (095)480 3600, 480 3311

Дата продажи _____ 200__ г.

Подпись представителя фирмы _____

М.П.